



SIS

Scuola Interdipartimentale
delle Scienze, dell'Ingegneria
e della Salute



Laurea Magistrale in STN

Applicazioni di Calcolo Scientifico e Laboratorio di ACS (12 cfu)

prof. Mariarosaria Rizzardi

Centro Direzionale di Napoli – Isola C4

stanza: n. 423 – Lato Nord, 4° piano

tel.: 081 547 6545

email: mariarosaria.rizzardi@uniparthenope.it

ACS parte 2: ACS_09a

Argomenti trattati

- **Cenni di Statistica inferenziale.**

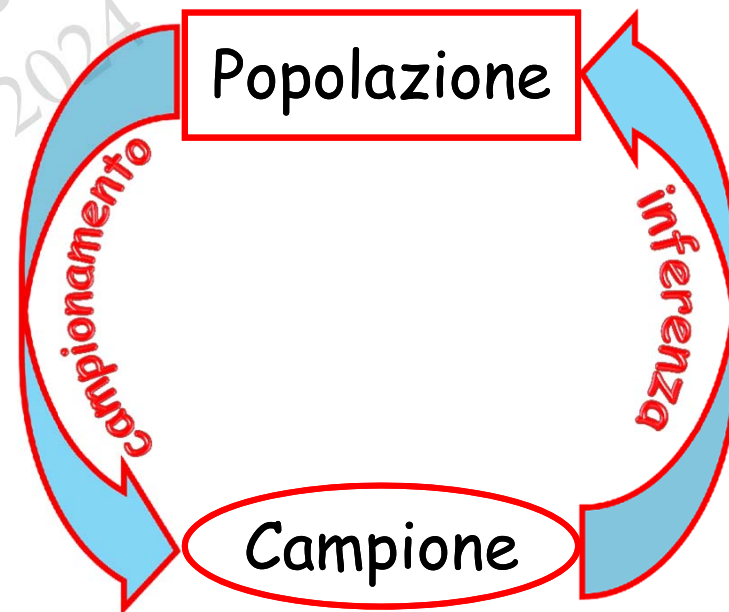
Cenni di Inferenza Statistica

La Statistica, che è una scienza quantitativa, è lo strumento idoneo per prendere decisioni in situazioni di incertezza.

La **Statistica Inferenziale** è l'insieme di metodi statistici che, partendo dall'osservazione e dall'analisi del "particolare" (**campione**), permettono di risalire al "contesto generale" (**popolazione**).

L'**Inferenza Statistica** si svolge secondo le seguenti fasi:

- ❑ Estrazione di una parte della popolazione (**campionamento**).
- ❑ Calcolo sui dati campionari di quantità (**stime dei parametri**) quali, ad es., media campionaria, varianza o altre.
- ❑ Estensione alla popolazione dei risultati forniti dal campione (**inferenza**).



dal punto di vista
statistico

Matrice dei dati X

$$\mathbf{X} = \begin{pmatrix} x_{11} & x_{12} & x_{13} & \cdots & x_{1d} \\ x_{21} & x_{22} & x_{23} & \cdots & x_{2d} \\ x_{31} & x_{32} & x_{33} & \cdots & x_{3d} \\ \vdots & \vdots & \vdots & \ddots & \vdots \\ x_{N1} & x_{N2} & x_{N3} & \cdots & x_{Nd} \end{pmatrix}$$

← variabili →

↑ campioni ↓

\mathbf{X} è una matrice di size $N \times d$, dove:

□ N è il numero dei *campioni*.

□ d è il numero delle *variabili casuali (feature)*, ed anche la dimensione dello spazio dati.

Ogni **riga** di \mathbf{X} contiene un *campione (datum)*.

Ogni **colonna** di \mathbf{X} contiene una *variabile casuale (feature)*.

x_{ij} è la j^{esima} *variabile* scelta dall' i^{esimo} *campione*.

```
X=[ -1  1  2  2  
    -2  3  1  0  
     4  0  3 -1 ];  
N=size(X,1); % numero di campioni  
d=size(X,2); % numero di variabili casuali
```

I **Software Statistici** si aspettano la matrice dei dati in tale formato.

Matrice dei dati X

dal punto di vista di uno Spazio Lineare

$$\mathbf{X} = \begin{pmatrix} x_{11} & x_{12} & x_{13} & \cdots & x_{1N} \\ x_{21} & x_{22} & x_{23} & \cdots & x_{2N} \\ x_{31} & x_{32} & x_{33} & \cdots & x_{3N} \\ \vdots & \vdots & \vdots & \ddots & \vdots \\ x_{d1} & x_{d2} & x_{d3} & \cdots & x_{dN} \end{pmatrix}$$

← campioni →

↑ variabili ↓

1 campione

trasposta della precedente matrice

\mathbf{X} è una matrice di size $d \times N$, dove:

- N è il numero dei *campioni*.
- d è il numero delle *variabili casuali (v.c.)*.

$$\mathbf{X} = \begin{bmatrix} -1 & 1 & 2 & 2 \\ -2 & 3 & 1 & 0 \\ 4 & 0 & 3 & -1 \end{bmatrix}';$$

Ogni **colonna** di \mathbf{X} contiene un *campione (datum)*.

Ogni **riga** di \mathbf{X} contiene una *variabile casuale (feature)*.

x_{ij} è la i^{esima} *variabile* scelta dal j^{esimo} *campione*.

Questa notazione è più vicina all'**Algebra delle Matrici**, perché i *campioni* sono considerati come vettori colonna, e le loro componenti sono i valori delle *v.c.*. Ciò implica che gli N *campioni* appartengono ad uno spazio a d dimensioni (*spazio delle variabili*).

I **Software Numerici** si aspettano la matrice dei dati in tale formato.

dal punto di
vista di uno
Spazio Lineare

$$\mathbf{X} = \begin{pmatrix} \mathbf{X}^{(1)} & \mathbf{X}^{(2)} & \dots & \mathbf{X}^{(N)} \end{pmatrix} = \begin{pmatrix} \boxed{X_1^{(1)}} & \boxed{X_1^{(2)}} & \boxed{\dots} & \boxed{X_1^{(N)}} \\ \vdots & \vdots & \vdots & \vdots \\ \boxed{X_d^{(1)}} & \boxed{X_d^{(2)}} & \boxed{\dots} & \boxed{X_d^{(N)}} \end{pmatrix}$$

colonne: campioni

righe: variabili

Il vettore **media campionaria** $\boldsymbol{\mu}$, ha size $(d \times 1)$, ed è il vettore colonna le cui componenti sono calcolate come media dei valori di ogni riga (cioè il valor medio di ciascuna *variabile* su tutti i campioni):

$$\boldsymbol{\mu} = \begin{pmatrix} \mu_1 \\ \mu_2 \\ \vdots \\ \mu_d \end{pmatrix} : \mu_i = \frac{1}{N} \sum_{j=1}^N X_j^{(i)} = \frac{1}{N} \sum_{j=1}^N x_{ij}$$

La **matrice centrata dei dati** \mathbf{X}_C è ottenuta sottraendo il **vettore media campionaria** $\boldsymbol{\mu}$ da ogni campione, cioè da ogni colonna di \mathbf{X} :

$$\mathbf{X}_C = \begin{pmatrix} x_{11} - \mu_1 & x_{12} - \mu_1 & x_{13} - \mu_1 & \dots & x_{1N} - \mu_1 \\ x_{21} - \mu_2 & x_{22} - \mu_2 & x_{23} - \mu_2 & \dots & x_{2N} - \mu_2 \\ x_{31} - \mu_3 & x_{32} - \mu_3 & x_{33} - \mu_3 & \dots & x_{3N} - \mu_3 \\ \vdots & \vdots & \vdots & \ddots & \vdots \\ x_{d1} - \mu_d & x_{d2} - \mu_d & x_{d3} - \mu_d & \dots & x_{dN} - \mu_d \end{pmatrix} \quad \mathbf{X}_C = \mathbf{X} - \boxed{\boldsymbol{\mu} \mathbf{1}_N^T \text{ prodotto esterno}}$$

dove

$$\mathbf{1}_N = (1, 1, \dots, 1)^T$$

$$\boldsymbol{\mu} = (\mu_1, \mu_2, \dots, \mu_d)^T$$

dal punto di vista di uno Spazio Lineare

$$\mathbf{X} = \begin{pmatrix} \mathbf{X}^{(1)} & \mathbf{X}^{(2)} & \dots & \mathbf{X}^{(N)} \end{pmatrix} = \begin{pmatrix} \begin{matrix} X_1^{(1)} \\ \vdots \\ X_d^{(1)} \end{matrix} & \begin{matrix} X_1^{(2)} \\ \vdots \\ X_d^{(2)} \end{matrix} & \begin{matrix} \dots \\ \dots \\ \dots \end{matrix} & \begin{matrix} X_1^{(N)} \\ \vdots \\ X_d^{(N)} \end{matrix} \end{pmatrix}$$

colonne: campioni

righe: variabili

Tramite la **matrice centrata dei dati** \mathbf{X}_C si può calcolare:

La **Scatter matrix** \mathbf{S} ($d \times d$): somma dei **prodotti esterni** dei campioni centrati $(\mathbf{x}^{(k)} - \boldsymbol{\mu})$:

$$\mathbf{S} = \mathbf{X}_C \mathbf{X}_C^T = \sum_{k=1}^N (\mathbf{x}^{(k)} - \boldsymbol{\mu})(\mathbf{x}^{(k)} - \boldsymbol{\mu})^T$$

La **matrice di Covarianza** \mathbf{C} ($d \times d$):

$$\mathbf{C} = \frac{1}{N-1} \mathbf{X}_C \mathbf{X}_C^T = \frac{1}{N-1} \mathbf{S} \quad \text{o} \quad \mathbf{C} = \frac{1}{N} \mathbf{X}_C \mathbf{X}_C^T = \frac{1}{N} \mathbf{S}$$

La **matrice di Correlazione** \mathbf{R} ($d \times d$):

$$\mathbf{R} = \frac{1}{N-1} \mathbf{X}_S \mathbf{X}_S^T \quad \text{o} \quad \mathbf{R} = \frac{1}{N} \mathbf{X}_S \mathbf{X}_S^T$$

dove $\mathbf{X}_S = \mathbf{D}^{-1} \mathbf{X}_C$ è la **matrice standardizzata** e $\mathbf{D} = \text{diag}(\sigma_1, \sigma_2, \dots, \sigma_d)$ σ_j : dev. std. della j^{esima} v.c.

$$\mathbf{X}_S = \begin{pmatrix} \frac{x_{11} - \mu_1}{\sigma_1} & \frac{x_{12} - \mu_1}{\sigma_1} & \dots & \frac{x_{1N} - \mu_1}{\sigma_1} \\ \frac{x_{21} - \mu_2}{\sigma_2} & \frac{x_{22} - \mu_2}{\sigma_2} & \dots & \frac{x_{2N} - \mu_2}{\sigma_2} \\ \vdots & \vdots & \ddots & \vdots \\ \frac{x_{d1} - \mu_d}{\sigma_d} & \frac{x_{d2} - \mu_d}{\sigma_d} & \dots & \frac{x_{dN} - \mu_d}{\sigma_d} \end{pmatrix}$$

dal punto di vista di uno Spazio Lineare

Esempio MATLAB

```
X = [-1 1 2 2; -2 3 1 0; 4 0 3 -1]';
N = size(X,2); % numero dei campioni
mu = mean(X,2); % vettore colonna delle medie
sig = std(X,0,2); % vettore delle deviazioni std.
```

X

	campioni		
	X_1	X_2	X_3
variabili			
x_1	-1	-2	4
x_2	1	3	0
x_3	2	1	3
x_4	2	0	-1

std(X,0) deviazione standard normalizzata per 1/(N-1) **default**
std(X,1) deviazione standard normalizzata per 1/N

matrice centrata X_C

```
Xc=X - repmat(mu,1,N);
mean(Xc,2)
ans =
-1.4803e-16
7.4015e-17
0
7.4015e-17
media zero
[sig std(Xc,0,2)]
ans =
3.2146
1.5275
1
1.5275
```

matrice standardizzata X_S

```
Xs=normalize(X,2);
% =zscore(X,0,2);
mean(Xs,2)
ans =
0
0
0
0
media zero
std(Xs,0,2)
ans =
1
1
1
1
dev. std. 1
```

$$X_S = D^{-1} X_C$$

```
D=diag(sig);
inv(D)*Xc
ans =
-0.41478 -0.72587 1.1406
-0.21822 1.0911 -0.87287
0 -1 1
1.0911 -0.21822 -0.87287
Xs=normalize(X,2)
Xs =
-0.41478 -0.72587 1.1406
-0.21822 1.0911 -0.87287
0 -1 1
1.0911 -0.21822 -0.87287
D1=diag(1./sig);
D1*Xc % senza inversa
ans =
-0.41478 -0.72587 1.1406
-0.21822 1.0911 -0.87287
0 -1 1
1.0911 -0.21822 -0.87287
```

dal punto di vista di uno Spazio Lineare

Esempio MATLAB

```
X = [-1 1 2 2; -2 3 1 0; 4 0 3 -1]';
N = size(X,2); % numero di campioni
mu = mean(X,2); % vettore colonna delle medie
```

X	campioni		
	X_1	X_2	x_3
x_1	-1	-2	4
x_2	1	3	0
x_3	2	1	3
x_4	2	0	-1

Le funzioni MATLAB **cov()**, **corrcoef()**, **pca()**, ... vogliono, come parametro, la **matrice dei dati X** in formato statistico, cioè di size: $N \times d$ (campioni \times variabili) e **non** $d \times N$ (variabili \times campioni)

È necessario passare la trasposta di X.

```
C=cov(X') % matrice di covarianza
C =
    10.3333    -4.1667     3.0000    -3.1667
    -4.1667     2.3333    -1.5000     0.3333
     3.0000    -1.5000     1.0000    -0.5000
    -3.1667     0.3333    -0.5000     2.3333
```

```
Xc = X - repmat(mu,1,N);
Xc*Xc'/(N-1) % scatter matrix scalata
ans =
    10.3333    -4.1667     3.0000    -3.1667
    -4.1667     2.3333    -1.5000     0.3333
     3.0000    -1.5000     1.0000    -0.5000
    -3.1667     0.3333    -0.5000     2.3333
```

```
R=corrcoef(X') % matrice di correlazione
R =
     1    -0.84856     0.93326    -0.6449
   -0.84856     1    -0.98198     0.14286
     0.93326    -0.98198     1    -0.32733
   -0.6449     0.14286    -0.32733     1
```

```
Xs = normalize(X,2); % matrice standardiz.
Xs*Xs'/(N-1)
ans =
     1    -0.84856     0.93326    -0.6449
   -0.84856     1    -0.98198     0.14286
     0.93326    -0.98198     1    -0.32733
   -0.6449     0.14286    -0.32733     1
```

matrice centrata X_c

matrice standardizzata X_s

dal punto di vista di uno Spazio Lineare

Esempio MATLAB: PCA*

* nello Statistics and Machine Learning Toolbox di MATLAB

```
X = [-1 1 2 2; -2 3 1 0; 4 0 3 -1]';
N = size(X,2); % numero dei campioni
mu = mean(X,2); % vettore colonna delle medie
```

	campioni		
	X_1	X_2	X_3
x_1	-1	-2	4
x_2	1	3	0
x_3	2	1	3
x_4	2	0	-1

← Tutti i parametri di output →

```
[base, comp, lambda, tsquared, explained, m] = pca(X', 'Economy', false);
```

scores (λ)
 statistica T-quadro di Hotelling
 percentuale della varianza totale

```
[explained lambda/sum(lambda)*100]
ans =
    86.622    86.622
    13.378    13.378
         0         0
         0         0
          percentuali
```

ricostruzione dei dati

```
Xc = X-repmat(mu,1,N)
Xc =
   -1.3333   -2.3333    3.6667
   -0.3333    1.6667   -1.3333
         0         -1          1
    1.6667   -0.3333   -1.3333
```

```
base*comp'
ans =
   -1.3333   -2.3333    3.6667
   -0.3333    1.6667   -1.3333
  -1.1102e-16    -1          1
    1.6667   -0.3333   -1.3333
```

proiezione dei dati

```
base'*Xc % =base\Xc
ans =
   -1.4641   -2.7682    4.2323
    1.5884   -1.2925   -0.29588
    2.2204e-16  4.4409e-16  -4.4409e-16
    2.7756e-17  1.3878e-16         0
```

```
comp'
ans =
   -1.4641   -2.7682    4.2323
    1.5884   -1.2925   -0.29588
         0         0
         0         0
```

dal punto di vista di uno Spazio Lineare

Esempio MATLAB: PCA e matrice di covarianza

X

	campioni		
	X_1	X_2	X_3
x_1	-1	-2	4
x_2	1	3	0
x_3	2	1	3
x_4	2	0	-1

```
X = [-1 1 2 2; -2 3 1 0; 4 0 3 -1]';
N = size(X,2); % numero dei campioni
mu = mean(X,2); % vettore colonna delle medie
```

```
[base, comp, lambda] = pca(X', 'Economy', false);
lambda
```

```
lambda =
    13.859
     2.1405
         0
         0
```

```
C = cov(X');
[V,D] = eig(C, 'vector');
[D,j]=sort(D, 'descend'); V=V(:,j);
D
D =
    13.859
     2.1405
  3.0255e-15
 -7.4954e-16
V
V =
   -0.8633   -0.043656
    0.35242   -0.53471
   -0.25255    0.2328
    0.25833    0.81116
```

```
Xc=X - repmat(mu,1,N);
Scat=Xc*Xc'; % scatter matrix
[Vscat,Dscat]=eig(Scat, 'vector');
[Dscat,j]=sort(Dscat, 'descend');
Vscat=Vscat(:,j);
all(Dscat == (N-1)*D)   autovalori scalati
ans = logical    1
all(all(Vscat == V))   stessi autovettori
ans = logical    1
```

```
base
base =
    0.8633   -0.043656
   -0.35242  -0.53471
    0.25255    0.2328
   -0.25833    0.81116
```

```
0.4782   -0.15534
0.69417    0.32866
-0.13265    0.92974
0.5214   -0.058544
```

```
rank([V(:,3:4) base(:,3:4)])
ans =
    2
linearmente dipendenti
```

dal punto di vista di uno Spazio Lineare

Esempio MATLAB: PCA e SVD (singular value decomposition)

X

	campioni		
	X_1	X_2	X_3
x_1	-1	-2	4
x_2	1	3	0
x_3	2	1	3
x_4	2	0	-1

full SVD: $[U, S, V] = \text{svd}(A)$
 $A_{m \times n} = U_{m \times m} S_{m \times n} V_{n \times n}^T$

reduced SVD: $[U, S, V] = \text{svd}(A, 'econ')$
 $A_{m \times n} = U_{m \times r} S_{r \times r} V_{r \times n}^T, \text{rank}(A) = r$

```
X = [-1 1 2 2; -2 3 1 0; 4 0 3 -1]';
N = size(X, 2); % numero dei campioni
mu = mean(X, 2); % vettore colonna delle medie
```

```
[base, comp, lambda] = pca(X', 'Economy', true);
lambda
```

```
lambda =
    13.859
     2.1405
```

```
Xc = X - repmat(mu, 1, N);
[U, S, V] = svd(Xc', 'econ');
diag(S*S') / (N-1)
```

```
ans =
    13.859
     2.1405
    8.2173e-33
```

```
[U, S, V] = svd(Xc' / sqrt(N-1), 'econ');
diag(S*S')
```

svd(A, 'econ') A(m×n)
 m > n : solo le prime n colonne di U sono calcolate, e S è n×n.
 m = n : svd(A, "econ") è equivalente a svd(A).
 m < n : solo le prime m colonne di V sono calcolate, e S è m×m.

```
V =
   -0.8633    0.043656   -0.4782
    0.35242   0.53471    -0.69417
   -0.25255  -0.2328     0.13265
    0.25833  -0.81116    -0.5214
```

```
base =
    0.8633   -0.043656
   -0.35242  -0.53471
    0.25255    0.2328
   -0.25833    0.81116
```

riduzione della dimensionalità delle 4 dimensioni delle variabili casuali, solo due sono sufficienti a descrivere tutti i dati.

dal punto di vista di uno Spazio Lineare

Esempio MATLAB: PCA e SVD

```
X=[-1 1 2 2; -2 3 1 0; 4 0 3 -1]';
N = size(X,2); % numero dei campioni
mu = mean(X,2); % vettore colonna delle medie
```

X

	campioni		
	X_1	X_2	X_3
variabili x_1	-1	-2	4
x_2	1	3	0
x_3	2	1	3
x_4	2	0	-1

```
[base, comp, lambda] = pca(X', 'Economy', false);
```

```
lambda =
    13.859
     2.1405
         0
         0
```

```
Xc = X-repmat(mu,1,N);
[U,S,V] = svd(Xc',0);
diag(S'*S)/(N-1)
ans =
    13.859
     2.1405
    8.2173e-33
         0
```

```
[U,S,V]=svd(Xc'/sqrt(N-1),0);
diag(S'*S)
```

svd(A,0) A(mxn)
 $m > n$: svd(A,0) è equivalente a svd(A,"econ").
 $m \leq n$: svd(A,0) è equivalente a svd(A).

```
V =
   -0.8633    0.043656   -0.4782    0.15534
    0.35242    0.53471   -0.69417   -0.32866
   -0.25255   -0.2328    0.13265   -0.92974
    0.25833   -0.81116   -0.5214    0.058544
```

```
base =
    0.8633   -0.043656    0.4782   -0.15534
   -0.35242  -0.53471    0.69417    0.32866
    0.25255    0.2328   -0.13265    0.92974
   -0.25833    0.81116    0.5214   -0.058544
```

riduzione della dimensionalità delle 4 dimensioni delle variabili casuali, solo due sono sufficienti a descrivere tutti i dati.

```
X=[-1 1 2 2; -2 3 1 0; 4 0 3 -1]';
N = size(X,2); % numero dei campioni
mu = mean(X,2); % vettore colonna delle medie
```

```
R=corrcoef(X') % matrice di correlazione
```

R = %	x1	x2	x3	x4
x1	1	-0.84856	0.93326	-0.6449
x2	-0.84856	1	-0.98198	0.14286
x3	0.93326	-0.98198	1	-0.32733
x4	-0.6449	0.14286	-0.32733	1

```
Xs = normalize(X'); % matrice standardiz.
```

Alta correlazione tra:

2^a e 3^a variabile

correlazione
negativa

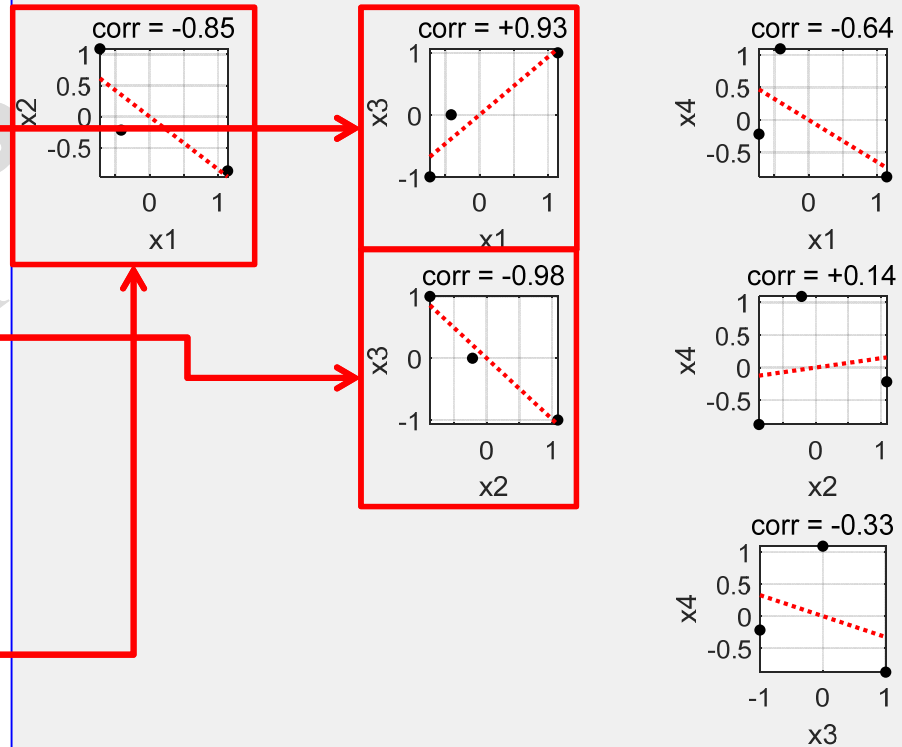
1^a e 3^a variabile

correlazione
positiva

1^a e 2^a variabile

correlazione
negativa

correlazione tra coppie di variabili standardizzate



Riassunto

dal punto di
vista **statistico**

```
X=[-1 1 2 2; -2 3 1 0; 4 0 3 -1];
N=size(X,1); % numero di campioni
mu=mean(X); % vettore riga delle medie
Xs=normalize(X); % matrice standardizz.
Xc=X-repmat(mu,N,1); % matrice centrata
[Bx,Cx,Lx]=pca(X,'Economy',false);
[Bc,Cc,Lc]=pca(Xc,'Economy',false);
[Bs,Cs,Ls]=pca(Xs,'Economy',false);
```

dal punto di vista di
uno **Spazio Lineare**

```
X=[-1 1 2 2; -2 3 1 0; 4 0 3 -1]';
N=size(X,2); % numero di campioni
mu=mean(X,2); % vettore col di medie
Xs=normalize(X'); % matrice standardizz.
Xc=X-repmat(mu,1,N); % matrice centrata
[Bx,Cx,Lx]=pca(X','Economy',false);
[Bc,Cc,Lc]=pca(Xc','Economy',false);
[Bs,Cs,Ls]=pca(Xs','Economy',false);
```

Lx % Lx == Lc

Lx =

```
13.859
 2.1405
 0
 0
```

Bx % Bx == Bc

Bx =

```
 0.8633   -0.043656   0.4782   -0.15534
 -0.35242  -0.53471   0.69417   0.32866
 0.25255   0.2328   -0.13265   0.92974
 -0.25833   0.81116   0.5214   -0.058544
```

Cx % Cx == Cc

Cx =

```
-1.4641   1.5884   0   0
 -2.7682  -1.2925   0   0
 4.2323  -0.29588   0   0
```

≠

Ls

Ls =

```
 3.0482
 0.95179
 0
 0
```

Bs

Bs =

```
 0.5671   -0.14387   0.775   0.23892
 -0.52375  -0.41489   0.07813   0.7399
 0.55812   0.23029   -0.545   0.58176
 -0.30428   0.86841   0.31024   0.2388
```

Cs

Cs =

```
-0.45293   1.0977   0   0
 -1.4748  -0.76804   0   0
 1.9277  -0.32968   0   0
```

disp(rank([Bx(:,1:2) Bs(:,1:2)]))
4

ACS parte 2: ACS_09b

Argomenti trattati

- **Cos'è la PCA?**
- **Derivazione dell'algoritmo PCA.**
- **Algoritmi PCA.**
- **Interpretazione geometrica della PCA.**

Analisi delle Componenti Principali

Principal Component Analysis (PCA) appare in molti campi della matematica applicata con nomi diversi (Trasformata di Karhunen-Loeve, Trasformata di Hotelling, ...).

La **PCA** è stata creata nel 1901 da Karl Pearson, ma Harold Hotelling l'ha sviluppata indipendentemente nel 1933 e le ha dato il nome di "Principal Component Analysis method".

Cos'è la PCA?

La **PCA** è una procedura che trasforma variabili (possibilmente) correlate in variabili incorrelate dette **componenti principali**.

Per cosa è usata la PCA?

Per la riduzione della dimensionalità dei dati ("dimensionality reduction"), cioè per ridurre il size dei dati senza (quasi) perdita di informazioni.

Come funziona la PCA?

La **PCA** cerca le direzioni con **massima** **variazione** dei dati.

La **1^a** direzione principale è individuata da un autovettore relativo al **massimo** **autovalore** della **Matrice di Covarianza** dei dati.
Poi analogamente la **2^a** direzione principale ...

Inoltre, la **PCA** proietta i dati su queste direzioni, ottenendo le loro **componenti principali**.

Richiami:

Proprietà del gradiente (∇) del prodotto scalare standard

$$\langle \mathbf{x}, \mathbf{v} \rangle = \mathbf{x}^\top \mathbf{v} = \mathbf{v}^\top \mathbf{x}$$

$$\langle \mathbf{x}, \mathbf{y} \rangle = \mathbf{x}^\top \mathbf{y} = \sum_{i=1}^d x_i y_i$$

$$1. \quad F(x_1, x_2, \dots, x_d) = \langle \mathbf{x}, \mathbf{v} \rangle = \sum_{i=1}^d x_i v_i \quad \rightarrow \quad \nabla_{\mathbf{x}} F = \mathbf{v}$$

v non dipende da \mathbf{x} simile a: $f(x)=\alpha x \Rightarrow f'(x)=\alpha$

Dim.:

j^{a} componente del gradiente $\frac{\partial}{\partial x_j} F = v_j$

$$\langle \mathbf{x}, \mathbf{x} \rangle = \mathbf{x}^\top \mathbf{x}$$

$$2. \quad F(x_1, x_2, \dots, x_d) = \langle \mathbf{x}, \mathbf{x} \rangle = \|\mathbf{x}\|_2^2 = \sum_{i=1}^d x_i^2 \quad \rightarrow \quad \nabla_{\mathbf{x}} F = 2\mathbf{x}$$

simile a: $f(x)=x^2 \Rightarrow f'(x)=2x$

Dim.:

j^{a} componente del gradiente $\frac{\partial}{\partial x_j} F = 2x_j$

$$\langle \mathbf{x}, \mathbf{Ax} \rangle = \mathbf{x}^\top \mathbf{Ax} = (\mathbf{Ax})^\top \mathbf{x} = \mathbf{x}^\top \mathbf{Ax}$$

$$3. \quad F(x_1, x_2, \dots, x_d) = \langle \mathbf{x}, \mathbf{Ax} \rangle = \sum_{i=1}^d x_i \left[\sum_{j=1}^d A_{ij} x_j \right] \rightarrow \nabla_{\mathbf{x}} F = 2\mathbf{Ax}$$

\mathbf{A} è **simmetrica** e non dipende da \mathbf{x}

Richiami:

Proprietà del gradiente (∇) del prodotto scalare standard

$$3. F(x_1, x_2, \dots, x_d) = \langle \mathbf{x}, \mathbf{Ax} \rangle = \sum_{i=1}^d x_i \left[\sum_{k=1}^d A_{ik} x_k \right] \Rightarrow \nabla_{\mathbf{x}} F = 2\mathbf{Ax}$$

\mathbf{A} è simmetrica e non dipende da \mathbf{x}

Dim.:

$$\mathbf{y}(\mathbf{x}) = \mathbf{Ax} \Leftrightarrow y_i(\mathbf{x}) = \sum_{k=1}^d A_{ik} x_k \Rightarrow \sum_{i=1}^d x_i y_i(\mathbf{x}) = F(x_1, \dots, x_d)$$

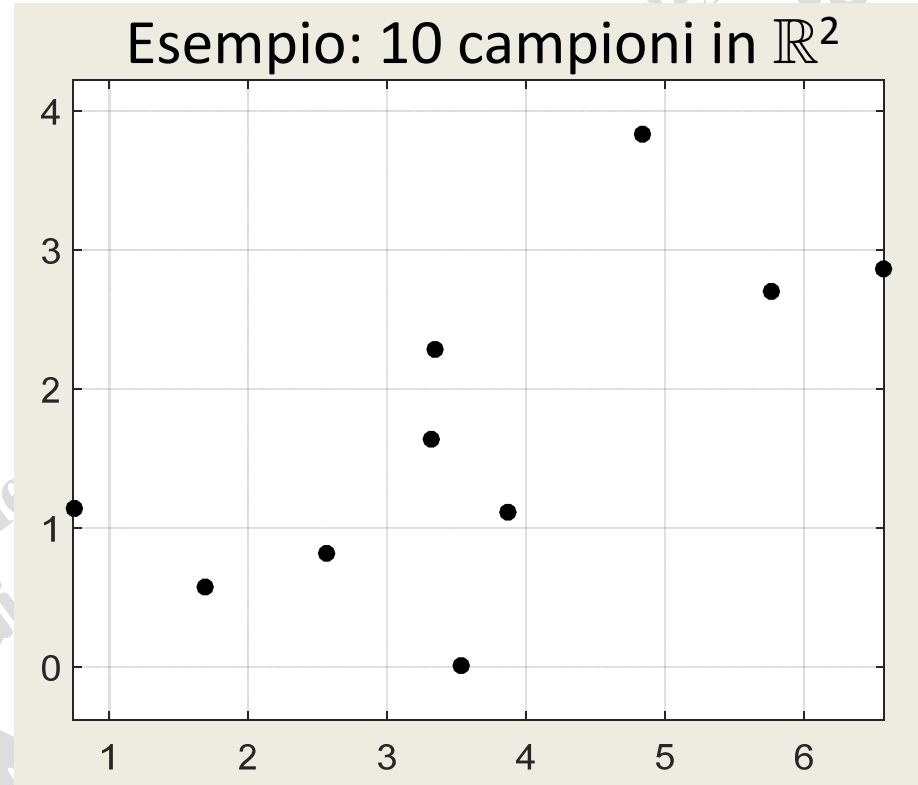
$(\nabla_{\mathbf{x}} F)_j = j^{\text{a}}$ componente del gradiente di $F()$:

$$\begin{aligned} \frac{\partial}{\partial x_j} F &= \sum_{i=1}^d \frac{\partial}{\partial x_j} \{x_i y_i(\mathbf{x})\} = y_j(\mathbf{x}) + \sum_{i=1}^d x_i \frac{\partial}{\partial x_j} \{y_i(\mathbf{x})\} = \\ &= y_j(\mathbf{x}) + \sum_{i=1}^d x_i \frac{\partial}{\partial x_j} \left[\sum_{k=1}^d A_{ik} x_k \right] = y_j(\mathbf{x}) + \sum_{i=1}^d x_i \sum_{k=1}^d \frac{\partial}{\partial x_j} \{A_{ik} x_k\} = \\ &= y_j(\mathbf{x}) + \sum_{i=1}^d A_{ij} x_i = y_j(\mathbf{x}) + \sum_{i=1}^d A_{ji} x_i = y_j(\mathbf{x}) + y_j(\mathbf{x}) = 2y_j(\mathbf{x}) \end{aligned}$$

poiché \mathbf{A} è simmetrica

derivazione della PCA

Si considerino N campioni $\mathbf{x}^{[k]} \in \mathbb{R}^d$.



Si cerca un sottospazio dello *Spazio Affine* \mathbb{R}^d , di dimensione $K \ll d$, che descriva significativamente i dati. Il sottospazio è detto *sottospazio PCA "ridotto"*.

derivazione della PCA (cont.)

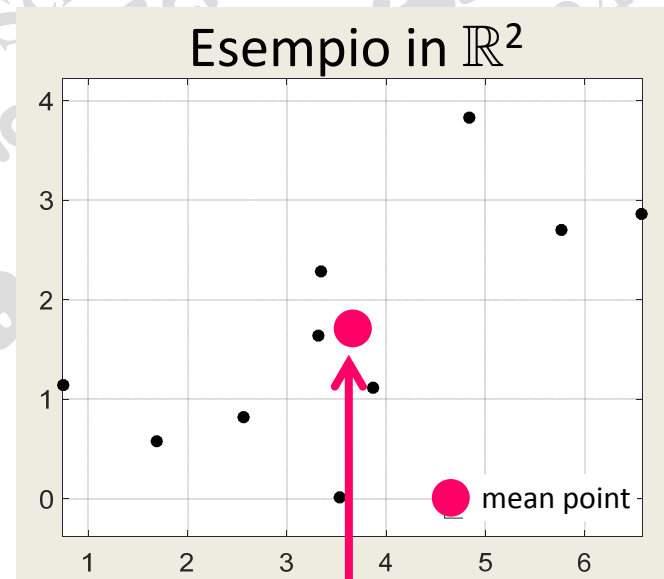
Sottospazio PCA di dimensione 0 (un singolo punto): si vuole descrivere i dati mediante un solo punto \mathbf{c} , tale che “esso minimizzi la somma delle sue distanze euclidee da tutti i campioni”, cioè

Trovare \mathbf{c} che minimizza J_0 : $J_0 = \sum_{k=1}^N \left\| \mathbf{x}^{[k]} - \mathbf{c} \right\|_2^2$

somma di quadrati di norma-2



funzione convessa



\mathbf{c} deve essere la media campionaria \mathbf{m} .

derivazione della PCA (cont.)

Il punto \mathbf{c} che minimizza $J_0 = \sum_{k=1}^N \left\| \mathbf{x}^{[k]} - \mathbf{c} \right\|_2^2$ è la

media campionaria \mathbf{m} : Perché?

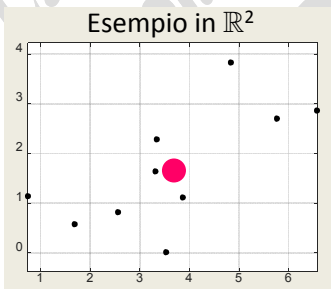
Dimostrazione:

Dalle proprietà del gradiente del prodotto scalare standard e della norma indotta:

$$0 \leq J_0 = \sum_{k=1}^N \left\| \mathbf{x}^{[k]} - \mathbf{c} \right\|_2^2 = \sum_{k=1}^N \left\| \mathbf{x}^{[k]} \right\|_2^2 + N \left\| \mathbf{c} \right\|_2^2 - 2 \sum_{k=1}^N \left\langle \mathbf{x}^{[k]}, \mathbf{c} \right\rangle$$

$$\nabla_{\mathbf{c}} J_0 = 2N\mathbf{c} - 2 \sum_{k=1}^N \nabla_{\mathbf{c}} \left\langle \mathbf{x}^{[k]}, \mathbf{c} \right\rangle = 2N\mathbf{c} - 2 \sum_{k=1}^N \mathbf{x}^{[k]} =$$

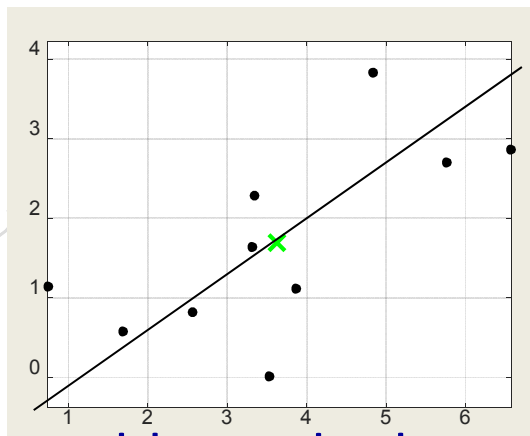
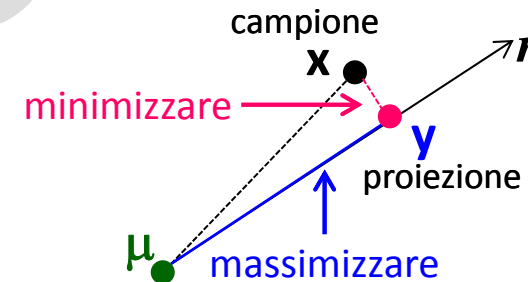
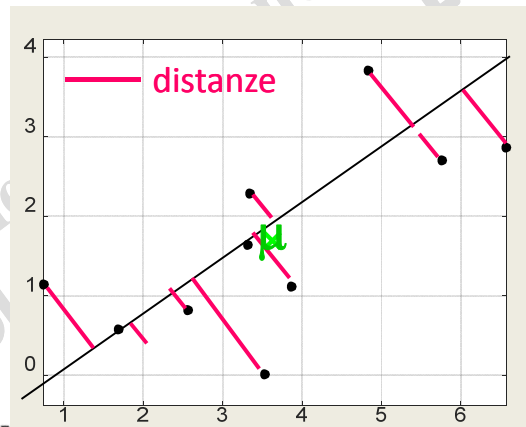
$$= 2 \left(N\mathbf{c} - \sum_{k=1}^N \mathbf{x}^{[k]} \right) = 0 \iff \mathbf{c} = \frac{1}{N} \sum_{k=1}^N \mathbf{x}^{[k]}$$



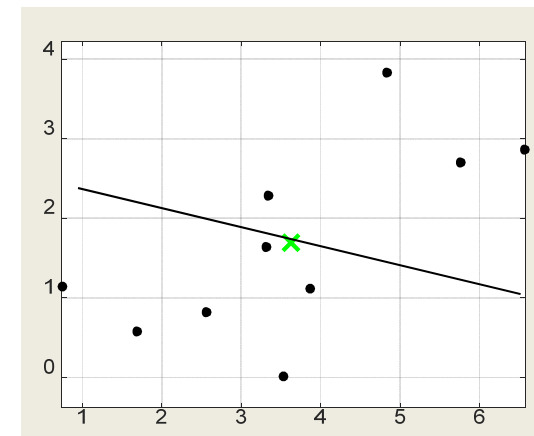
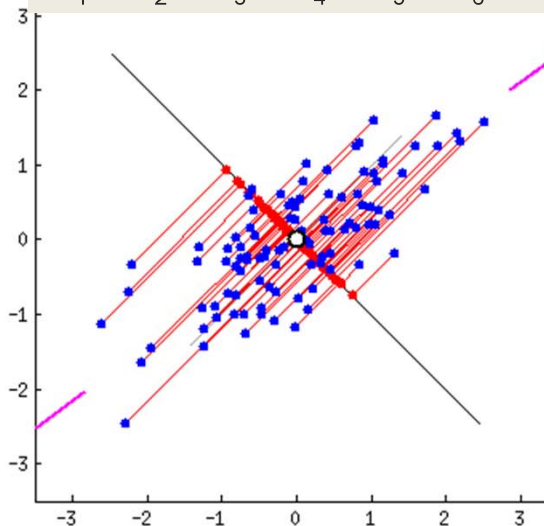
Tuttavia, la media campionaria \mathbf{m} da sola non è in grado di descrivere sufficientemente tutti i dati.

derivazione della PCA Incrementale

Allora, si cerca una **retta r** (sottospazio PCA di dimensione 1) tale che “essa minimizzi la somma delle sue distanze euclidee da tutti i campioni”, cioè che minimizzi la somma dei residui delle proiezioni.



potrebbe andar bene ...



assolutamente no!

derivazione della PCA Increm. (cont.)

Per trovare la **1^a direzione principale**, si cerca una retta r , nello spazio affine \mathbb{R}^d , passante per un punto \mathbf{c} e parallela ad un vettore normalizzato \mathbf{e} ($\|\mathbf{e}\|_2=1$):

$$r : \mathbf{y} = \mathbf{c} + \rho \mathbf{e}, \quad \rho \in \mathbb{R}$$

tale che “ r minimizzi la somma delle distanze euclidee tra tutti i campioni $\mathbf{x}^{[k]}$ e le loro proiezioni ortogonali $\mathbf{y}^{[k]}$ sulla retta”.

matrice di proiezione \mathbf{P} (sullo spazio direttore) $\mathbf{P} : \mathbf{v}^{[k]} = \mathbf{x}^{[k]} - \mathbf{c} \longrightarrow \mathbf{w}^{[k]} = \mathbf{P} \mathbf{v}^{[k]} = \mathbf{y}^{[k]} - \mathbf{c} = \alpha^{[k]} \mathbf{e}$

\mathbf{P} agisce sullo Spazio Lineare dei vettori che partono da \mathbf{c} (come Origine)

Trovare \mathbf{c} , \mathbf{e} e $\alpha^{[k]}$ tali da

minimizzare $J_1 = \sum_{k=1}^N \left\| \mathbf{x}^{[k]} - \mathbf{y}^{[k]} \right\|_2^2$

Errore quadratico di ricostruzione
(SSE: sum of squared errors)

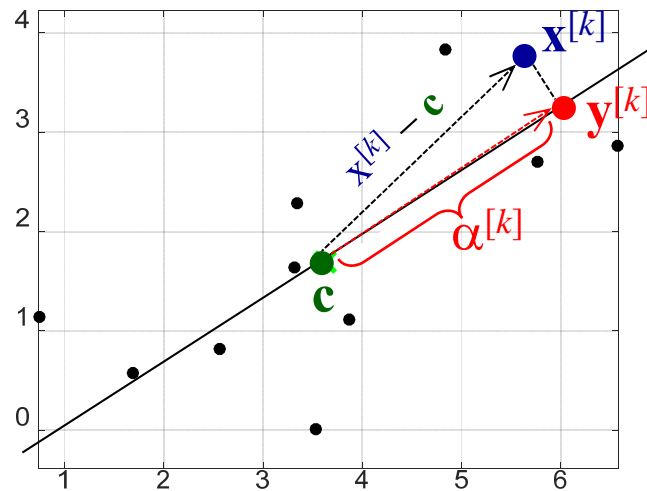
derivazione della PCA Increm. (cont.)

$(\mathbf{y}^{[k]} - \mathbf{c})$ è la proiezione ortogonale di $(\mathbf{x}^{[k]} - \mathbf{c})$ sulla retta $r \parallel \mathbf{e}$

$$\mathbf{P} : (\mathbf{x}^{[k]} - \mathbf{c}) \longrightarrow (\mathbf{y}^{[k]} - \mathbf{c}) = \mathbf{P}(\mathbf{x}^{[k]} - \mathbf{c}) = \alpha^{[k]} \mathbf{e}$$

Per ottenere questi vettori, tutti i punti sono stati centrati in \mathbf{c}

minimizzare $J_1(\mathbf{c}, \alpha^{[k]}, \mathbf{e}) = \sum_{k=1}^N \left\| \mathbf{x}^{[k]} - \underbrace{(\mathbf{c} + \alpha^{[k]} \mathbf{e})}_{\mathbf{y}^{[k]}} \right\|_2^2$



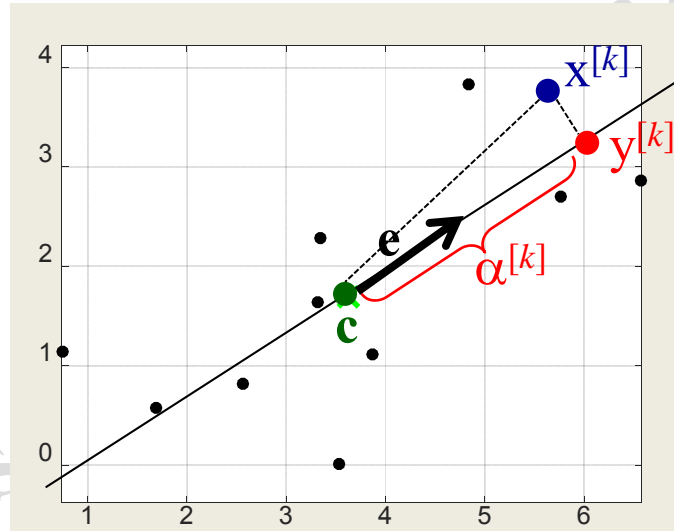
Per minimizzare J_1 , lo scalare $\alpha^{[k]}$ deve essere la componente del vettore $(\mathbf{x}^{[k]} - \mathbf{c})$ lungo r , cioè:

$$\alpha^{[k]} = \langle (\mathbf{x}^{[k]} - \mathbf{c}), \mathbf{e} \rangle = (\mathbf{x}^{[k]} - \mathbf{c})^T \mathbf{e} = \langle \mathbf{e}, (\mathbf{x}^{[k]} - \mathbf{c}) \rangle = \mathbf{e}^T (\mathbf{x}^{[k]} - \mathbf{c})$$

dove $\langle \cdot, \cdot \rangle$ è il prodotto scalare standard che induce la norma euclidea.

derivazione della PCA Increm. (cont.)

minimizzare $J_1(\mathbf{c}, \alpha^{[k]}, \mathbf{e}) = \sum_{k=1}^N \left\| \mathbf{x}^{[k]} - (\mathbf{c} + \alpha^{[k]} \mathbf{e}) \right\|_2^2$



Per ipotesi: $\|\mathbf{e}\|_2=1$

Applicando le proprietà del gradiente del prodotto scalare standard e della norma indotta, si ha:

Esprimerlo come il quadrato di un binomio $(A - B)^2 = A^2 + B^2 - 2AB$

$$\begin{aligned} \left\| (\mathbf{x}^{[k]} - \mathbf{c}) - \alpha^{[k]} \mathbf{e} \right\|_2^2 &= \left\| \mathbf{x}^{[k]} - \mathbf{c} \right\|_2^2 + (\alpha^{[k]})^2 \|\mathbf{e}\|_2^2 - 2\alpha^{[k]} \langle (\mathbf{x}^{[k]} - \mathbf{c}), \mathbf{e} \rangle = \\ &= \left\| \mathbf{x}^{[k]} - \mathbf{c} \right\|_2^2 + (\alpha^{[k]})^2 - 2(\alpha^{[k]})^2 = \left\| \mathbf{x}^{[k]} - \mathbf{c} \right\|_2^2 - (\alpha^{[k]})^2 = \\ &= \left\| \mathbf{x}^{[k]} - \mathbf{c} \right\|_2^2 - \mathbf{e}^T (\mathbf{x}^{[k]} - \mathbf{c}) (\mathbf{x}^{[k]} - \mathbf{c})^T \mathbf{e} \end{aligned}$$

derivazione della PCA Increment. (cont.)

Sostituendo il risultato in J_1 , si ha:

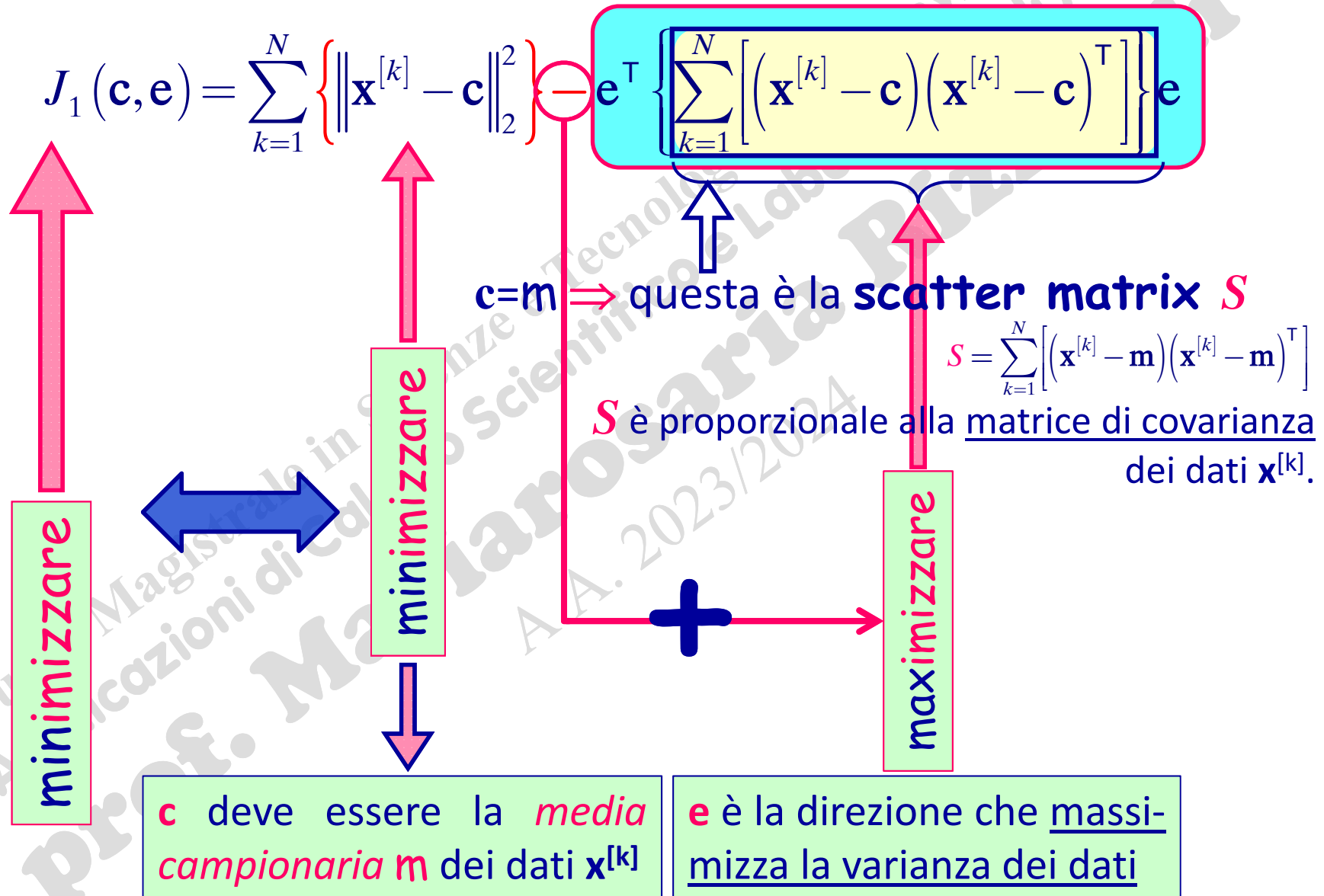
$$\begin{aligned} J_1(\mathbf{c}, \alpha^{[k]}, \mathbf{e}) &= \sum_{k=1}^N \left\| \mathbf{x}^{[k]} - (\mathbf{c} + \alpha^{[k]} \mathbf{e}) \right\|_2^2 = \\ &= \sum_{k=1}^N \left\{ \left\| \mathbf{x}^{[k]} - \mathbf{c} \right\|_2^2 - \mathbf{e}^T (\mathbf{x}^{[k]} - \mathbf{c}) (\mathbf{x}^{[k]} - \mathbf{c})^T \mathbf{e} \right\} = \\ &= \sum_{k=1}^N \left\| \mathbf{x}^{[k]} - \mathbf{c} \right\|_2^2 - \mathbf{e}^T \left\{ \sum_{k=1}^N (\mathbf{x}^{[k]} - \mathbf{c}) (\mathbf{x}^{[k]} - \mathbf{c})^T \right\} \mathbf{e} \end{aligned}$$

minimizzare

minimizzare

massimizzare

derivazione della PCA Increm. (cont.)



derivazione della PCA Increment. (cont.)

Problema di Ottimizzazione vincolata

S scatter matrix

$$\text{Minimizzare: } J_1(\mathbf{c}, \mathbf{e}) = \sum_{k=1}^N \left\{ \|\mathbf{x}^{[k]} - \mathbf{c}\|_2^2 \right\} - \mathbf{e}^T \mathbf{S} \mathbf{e}$$

soggetto al vincolo di eguaglianza: $\mathbf{e}^T \mathbf{e} = 1$.

Un problema di ottimizzazione vincolata con soli vincoli di eguaglianza può essere risolto mediante il **metodo dei moltiplicatori di Lagrange**, in base al quale si cercano i punti stazionari della funzione Lagrangiana \mathbb{L} :

$$\mathbb{L}(\mathbf{c}, \mathbf{e}, \lambda) = J_1(\mathbf{c}, \mathbf{e}) + \lambda(\mathbf{e}^T \mathbf{e} - 1), \quad \lambda \in \mathbb{R}$$

Questi sono gli zeri del gradiente ∇ di $\mathbb{L}()$.

derivazione della PCA Increment. (cont.)

$$\text{minimo di } \mathbb{L}(\mathbf{c}, \mathbf{e}, \lambda) = \sum_{k=1}^N \left\{ \left\| \mathbf{x}^{[k]} - \mathbf{c} \right\|_2^2 \right\} - \mathbf{e}^T S \mathbf{e} + \lambda (\mathbf{e}^T \mathbf{e} - 1) \iff \nabla \mathbb{L} = 0$$

$$\frac{\partial}{\partial \lambda} \mathbb{L}(\mathbf{c}, \mathbf{e}, \lambda) = 0 \iff \mathbf{e}^T \mathbf{e} = 1 \quad (\text{vero per ipotesi})$$

$$\frac{\partial}{\partial \mathbf{c}} \mathbb{L}(\mathbf{c}, \mathbf{e}, \lambda) = 0 \iff \mathbf{c} = \mathbf{m} \quad (\text{media campionaria})$$

$$\frac{\partial}{\partial \mathbf{e}} \mathbb{L}(\mathbf{c}, \mathbf{e}, \lambda) = -2S\mathbf{e} + 2\lambda\mathbf{e} = -2(\mathbf{S}\mathbf{e} - \lambda\mathbf{e}) = 0$$

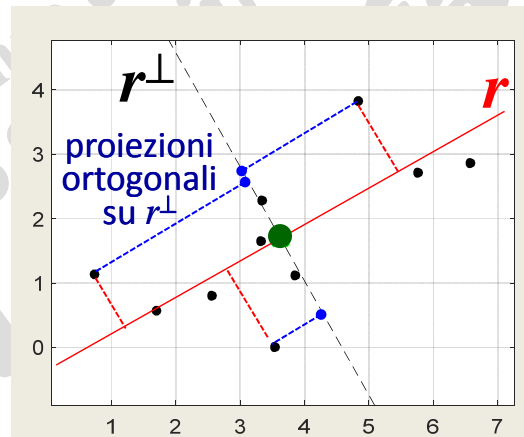
$\iff \mathbf{S}\mathbf{e} = \lambda\mathbf{e}$ (tipica eq. autovalori/autovettori) cioè:

□ \mathbf{e} è un autovettore relativo all'autovalore λ della *Scatter matrix* S (\mathbf{e} è anche un autovettore della *matrice di Covarianza*);

□ λ è il massimo autovalore, perché $\min J_1$ equivale a:
 $\min\{-\mathbf{e}^T S \mathbf{e}\} = \max\{\mathbf{e}^T S \mathbf{e}\} = \max\{\mathbf{e}^T \lambda \mathbf{e}\} = \max\{\lambda \mathbf{e}^T \mathbf{e}\} = \max\{\lambda\}$

Algoritmo PCA incrementale

Nello spazio lineare (centrato in \mathbf{m}), dopo aver trovato la prima direzione principale ($r : r = \text{span}\{\mathbf{e}\}$), per cercare la seconda direzione principale, si considera r^\perp (il complemento ortogonale di r) e si ripete la precedente procedura sulle proiezioni ortogonali dei dati $\mathbf{x}^{[k]}$ su r^\perp .

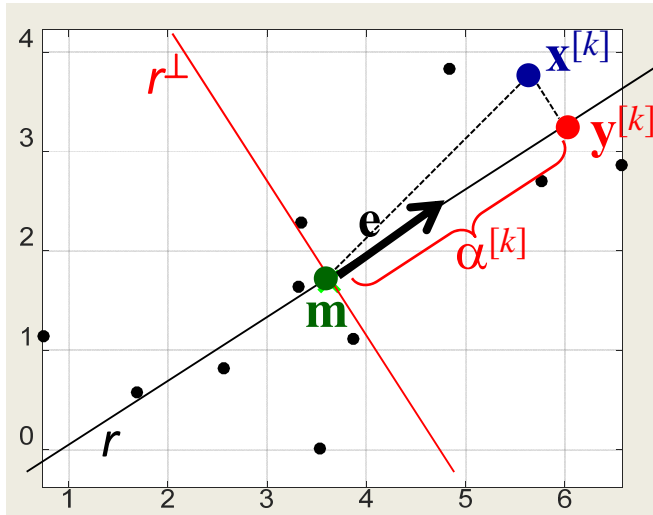


Ricorda che $\mathbb{R}^d = r \oplus r^\perp$ e $r \perp r^\perp$: allora r^\perp è un sottospazio di dimensione $d-1$. La procedura può essere ripetuta fino a $d=1$.

Come proiettare ortogonalmente su r^\perp ?

Come proiettare ortogonalmente su r^\perp ?

$(\mathbf{y}^{[k]} - \mathbf{m})$ è la proiezione ortogonale di $(\mathbf{x}^{[k]} - \mathbf{m})$ su r



$$\mathbf{P} : (\mathbf{x}^{[k]} - \mathbf{m}) \longrightarrow (\mathbf{y}^{[k]} - \mathbf{m}) = \alpha^{[k]} \mathbf{e}$$

\mathbf{P} è la *matrice di proiezione ortogonale* su $r = \text{span}\{\mathbf{e}\}$ (\mathbf{e} : base ortonormale):

formula semplificata $\longrightarrow \mathbf{P} = \mathbf{e} \mathbf{e}^T$

$$(\mathbf{y}^{[k]} - \mathbf{m}) = \mathbf{P}(\mathbf{x}^{[k]} - \mathbf{m}) = \mathbf{e} \underbrace{\mathbf{e}^T (\mathbf{x}^{[k]} - \mathbf{m})}_{\alpha^{[k]}}$$

$\mathbf{I} - \mathbf{P}$ è la matrice di proiezione ortogonale su r^\perp

$\mathbf{I} - \mathbf{P}$ è detta “matrice di proiezione complementare”

Dim.: Infatti, il vettore $\mathbf{x}^{[k]} - \mathbf{y}^{[k]}$, ortogonale a r , può essere scritto come:

$$(\mathbf{x}^{[k]} - \mathbf{m}) - (\mathbf{y}^{[k]} - \mathbf{m}) = (\mathbf{x}^{[k]} - \mathbf{m}) - \mathbf{P}(\mathbf{x}^{[k]} - \mathbf{m}) = (\mathbf{I} - \mathbf{P})(\mathbf{x}^{[k]} - \mathbf{m})$$

Esempio: PCA in MATLAB

Statistics and Machine Learning Toolbox

Campione random da Distribuzione Normale Multivariata

```
N=10; X=mvnrnd([3 1 1],[1 .2 .7; .2 1 0; .7 0 1],N); % mvnrnd( $\mu,\Sigma,N$ )
```

```
[basis, comp, lambda]=pca(X, 'Economy', false);
```

base di \mathbb{R}^d
componenti
principali
autovalori di $\text{cov}(X)$

v.c.
matrice
dei dati
 X
campioni
dal punto di
vista **statistico**

X di size $(N \times d)$ dove:
 N è il numero dei campioni,
 d è la dim. dello spazio dei dati
'Economy', false: per avere
una base completa di \mathbb{R}^d

1^a direzione principale

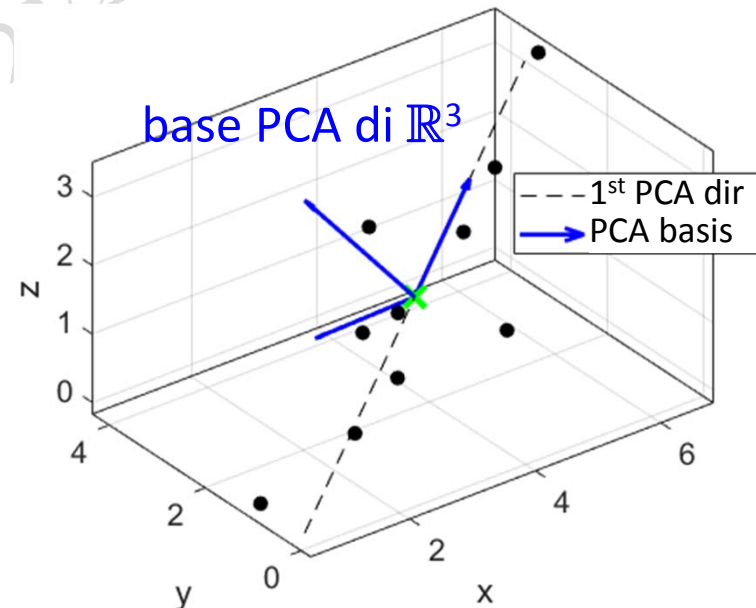
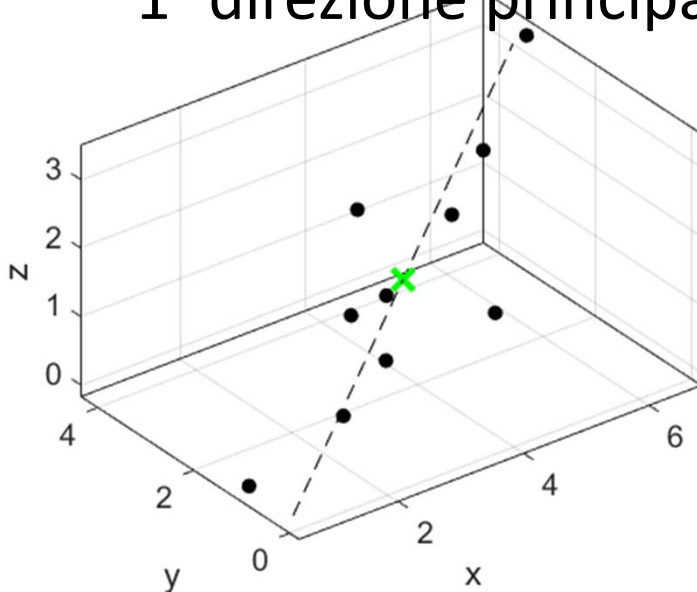
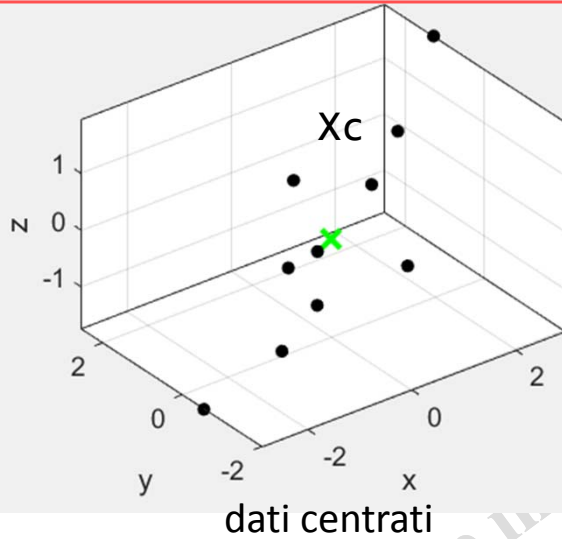


Illustrazione dell'algoritmo PCA incrementale (1)

```
N=10; X=mvnrnd([3 1 1],[1 .2 .7; .2 1 0; .7 0 1],N); % mvnrnd( $\mu,\Sigma,N$ )
mu=mean(X); Xc=X-repmat(mu,size(X,1),1);
```

dal punto di vista
statistico



base di r (e)

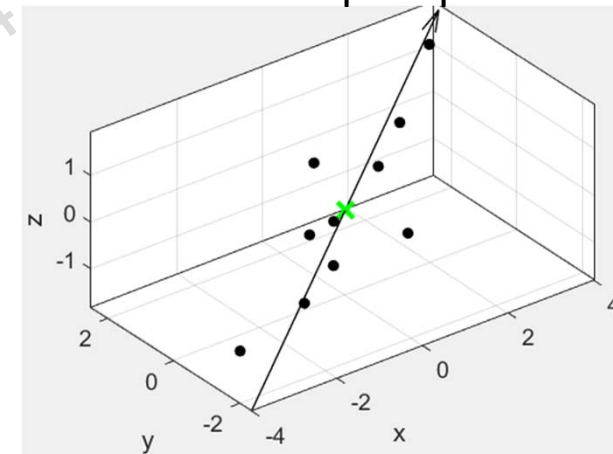
```
[base1, comp1, lambda1] = pca(X, 'NumComponents', 1);
```

```
[L1, w1] = powerMethod(Xc'*Xc/(N-1));
```

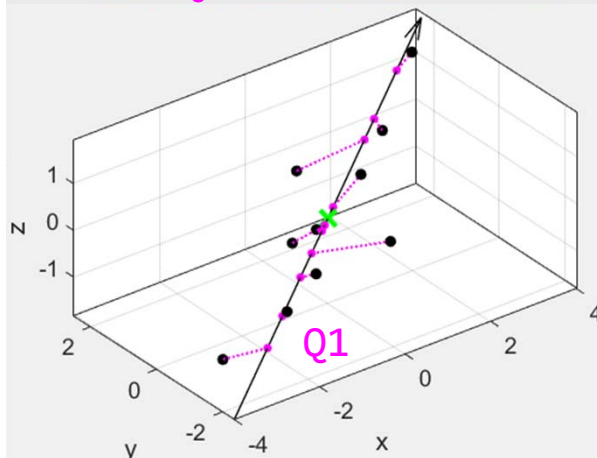
metodo potenza: trova il massimo autovalore e relativo autovettore

```
function [L1,w1]=powerMethod(A)
nIter=200; N=size(A,2);
w1=ones(N,1); w1=w1/norm(w1);
for k=1:nIter % iterazioni
    w0=w1; w1=A*w0; w1=w1/norm(w1);
    L1=dot(w1,A*w1);
    absErr=norm(w1-w0);
    if absErr < 1e-10
        break % ferma le iterazioni
    end
end
end
```

1^a direzione principale



Proiezioni ortogonali dei dati sulla retta PCA1



```
lambda1(1)
    4.7561
```

```
base1 =
    0.80209
    0.47385
    0.3635
```

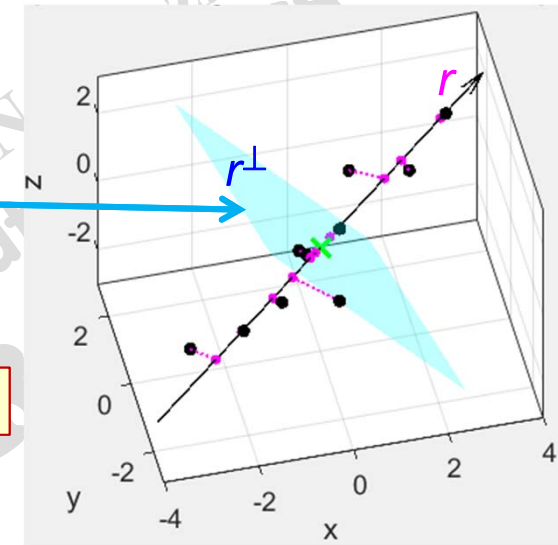
```
L1 =
    4.7561
```

```
w1 =
    0.80209
    0.47385
    0.3635
```

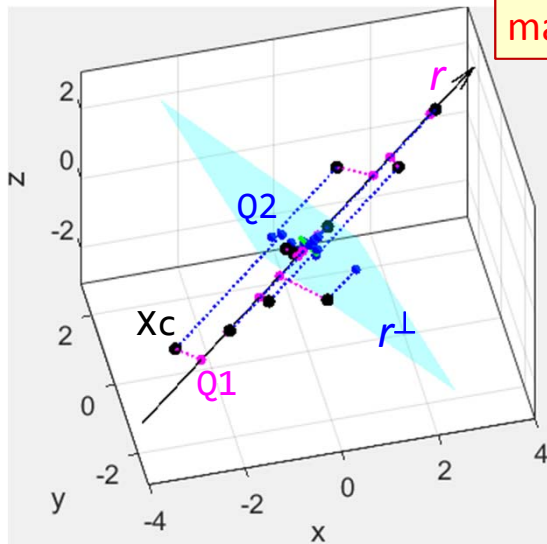
```
Pperp=base1*base1'; % matrice di proiezione ortogonale sulla retta
Q1=Pperp*Xc'; Q1=Q1'; % comp1 == Q1*base1
plot3(Q1(:,1),Q1(:,2),Q1(:,3),'m.','MarkerSize',18)
title('Proiezioni ortogonali dei dati sulla retta PCA1')
```

Illustrazione dell'algoritmo PCA incrementale (2)

```
B2=null(base1'); % base del complemento ortogonale di r
syms a b real; plane=B2*[a;b];
h=ezsurf(plane(1),plane(2),plane(3),[-3 3]);
title('complemento ortogonale della 1^a direzione principale')
```



matrice di proiezione complementare I-P



```
Pcml=eye(3) - Pperp;
Q2=Pcml*Xc'; Q2=Q2'; % proiezioni su r^\perp
plot3(Q2(:,1),Q2(:,2),Q2(:,3),'b.','MarkerSize',18)
title('Proiezioni sul complemento ortogonale di r')
```

Componenti, risp. alla base del piano, dei vettori proiettati

```
Q3=B2' * Q2'; % componenti 2D risp. a B2 (equivalente a Q3=B2\Q2')
Q3=Q3';
plot(Q3(:,1),Q3(:,2),'b.','MarkerSize',24); hold on
h=plot(0,0,'Xg'); set(h,'LineWidth',3,'MarkerSize',14)
axis equal; grid on; box on
set(gca,'FontSize',14); xlabel('x'); ylabel('y')
title('Proiezioni sul complemento ortogonale di r')
```

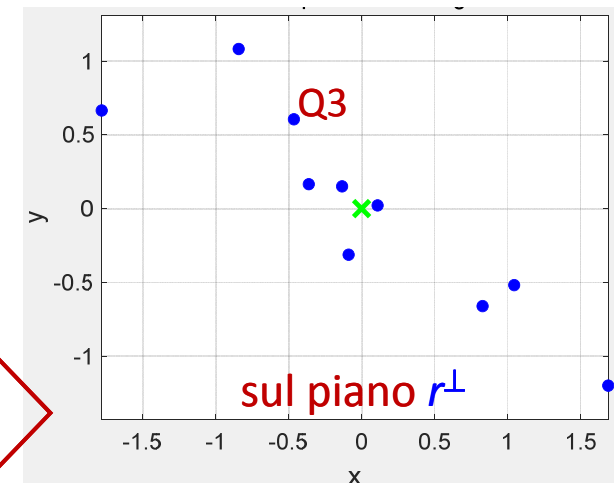


Illustrazione dell'algoritmo PCA incrementale (3)

2^a direzione principale

PCA applicata ai dati 2D proiettati

```
[base2, comp2, lambda2]=pca(Q3, 'NumComponents', 1);
```

```
[L2, w2]=powerMethod(Q3'*Q3/(N-1));
```

lambda2(1)

1.4005

base2 =

0.83237

-0.55422

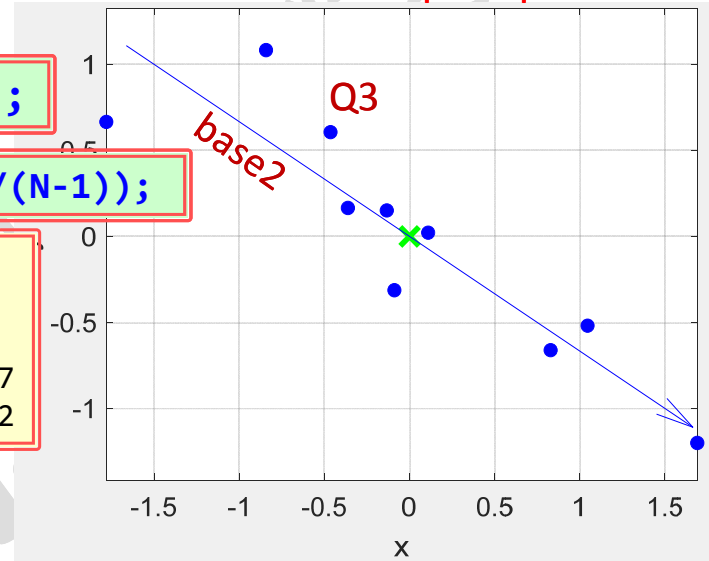
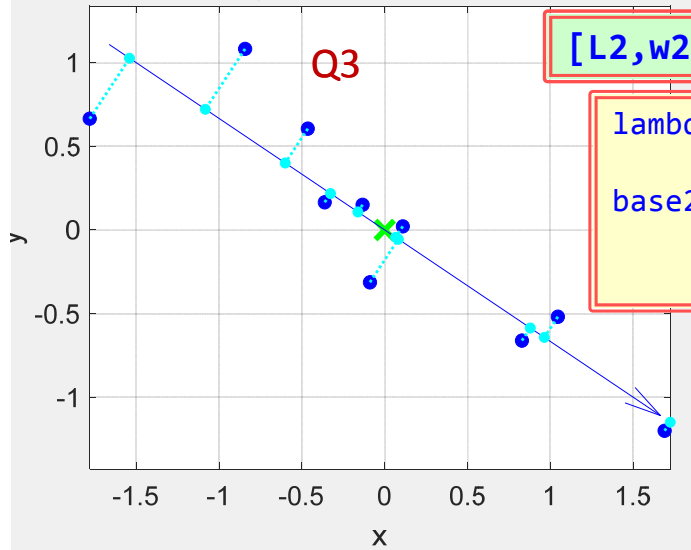
L2 =

1.4005

w2 =

0.83237

-0.55422



confronto con PCA completa

```
[base, comp, lambda]=pca(X, 'Economy', false);
```

comp1 =

```
-0.85923
 1.9632
-3.2115
 0.28882
-0.30638
-2.4193
-1.4579
-0.16089
 3.6831
 2.4801
```

comp2 =

```
-1.8518
 2.072
 1.158
-1.3018
 0.079027
-0.19491
-0.39336
 1.0563
-0.72228
 0.098876
```

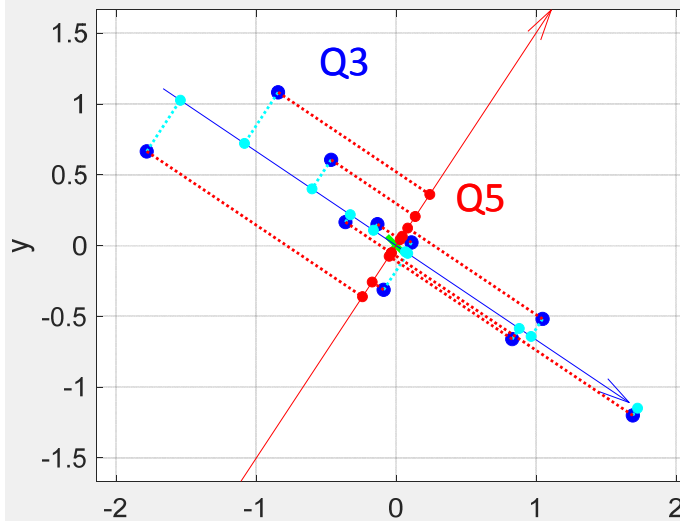
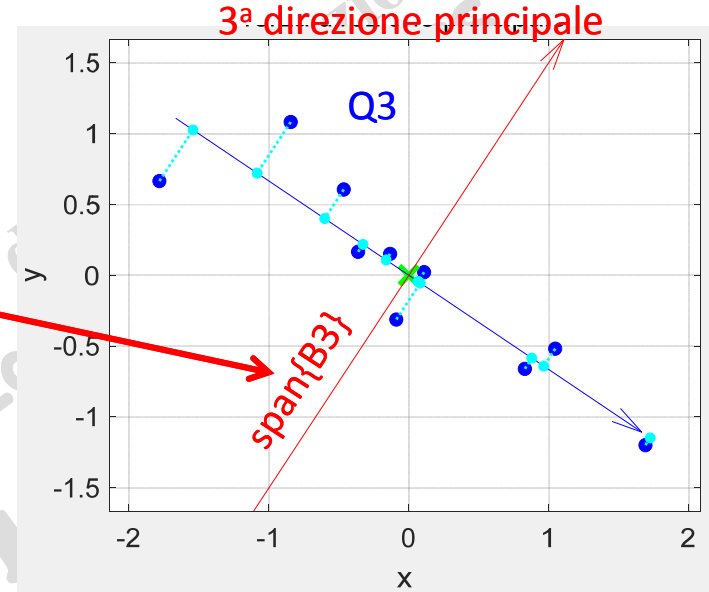
comp =

```
-0.85923    -1.8518    -0.4339
 1.9632      2.072     -0.061501
-3.2115      1.158      0.14823
 0.28882     -1.3018     0.43342
-0.30638     0.079027   0.078779
-2.4193     -0.19491   0.051441
-1.4579     -0.39336   -0.063018
-0.16089     1.0563     -0.090606
 3.6831     -0.72228    0.2467
 2.4801      0.098876   -0.30955
```

Illustrazione dell'algoritmo PCA incrementale (4)

complemento ortogonale di base2 sul piano r^\perp

```
B3=null(base2'); % base del complemento ortogonale di r
figure(2)
h=quiver(-2*B3(1),-2*B3(2),4*B3(1),4*B3(2),1);
set(h,'Color','r')
```



proiezioni ortogonali su $\text{span}\{B3\}$

```
Pperp=base2*base2'; Pcomp1=eye(2) - Pperp;
Q5=Pcomp1*Q3'; Q5=Q5';
plot(Q5(:,1),Q5(:,2),'r.','MarkerSize',18);
[base3,comp3,lambda3]=pca(Q5,'NumComponents',1);
```

confronto con PCA completa

comp3 =

-0.4339
-0.061501
0.14823
0.43342
0.078779
0.051441
-0.063018
-0.090606
0.2467
-0.30955

comp =

-0.85923	-1.8518	-0.4339
1.9632	2.072	-0.061501
-3.2115	1.158	0.14823
0.28882	-1.3018	0.43342
-0.30638	0.079027	0.078779
-2.4193	-0.19491	0.051441
-1.4579	-0.39336	-0.063018
-0.16089	1.0563	-0.090606
3.6831	-0.72228	0.2467
2.4801	0.098876	-0.30955

```
[L3,w3]=powerMethod(Q5'*Q5/(N-1));
```

lambda3(1)	L3 =
0.064399	0.064399
base3 =	w3 =
0.55422	0.55422
0.83237	0.83237

Esempio PCA: interpretazione geometrica

```
N=10; X=mvnrnd([3 1 1],[1 .2 .7; .2 1 0; .7 0 1],N); % mvnrnd( $\mu$ ,  $\Sigma$ , N)
```

base di \mathbb{R}^3

```
[basis, comp, lambda]=pca(X, 'Economy', false);
```

v.c.
matrice
dei dati
campioni



$B = \text{basis}$ è una matrice ortogonale.

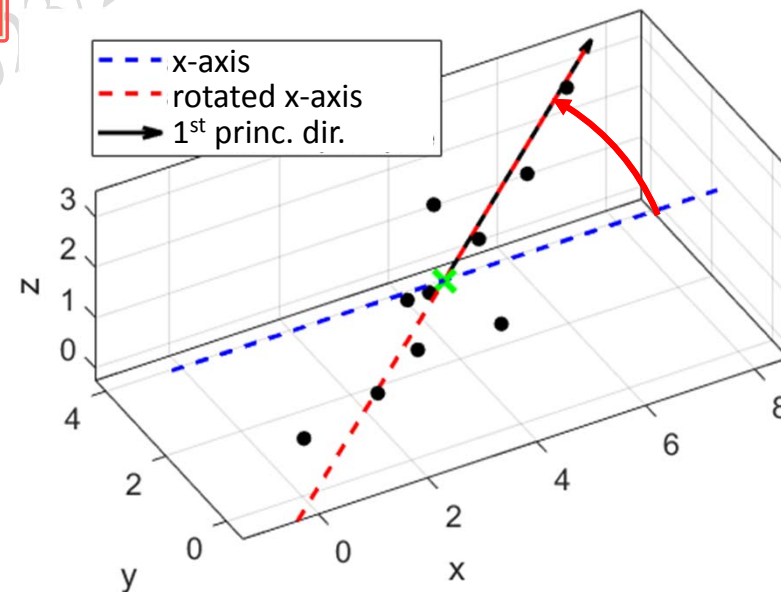
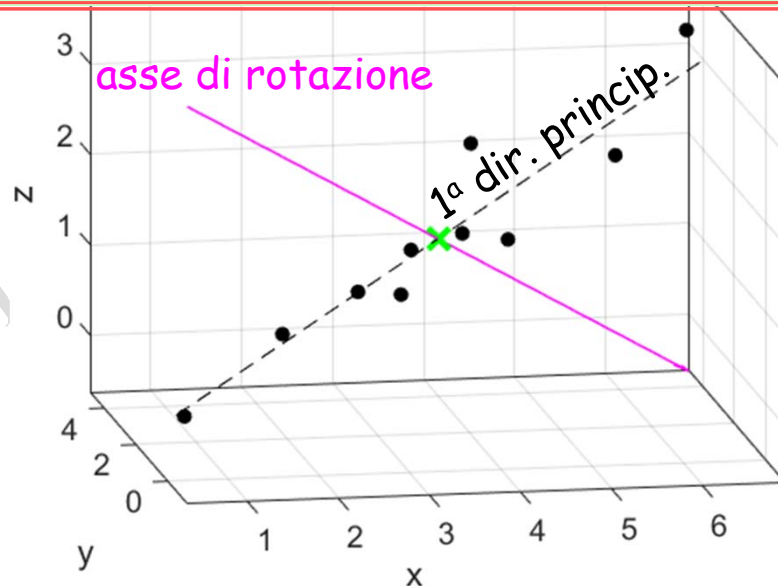
Se $\det(B) = 1$



è una rotazione 3D
attorno alla media
campionaria

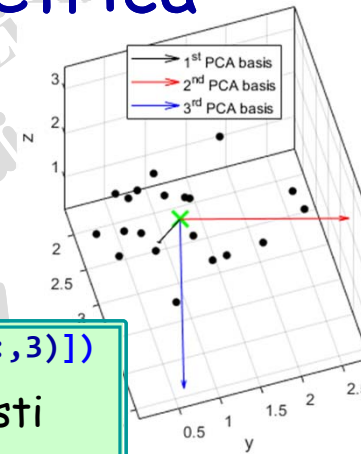
asse ed angolo della rotazione 3D

```
axis=null(basis - eye(size(basis,1)));  
c=(trace(basis)-1)/2; % c: cos( $\theta$ ), s: sin( $\theta$ )  
s=(basis(2,1)-(1-c)*axis(1)*axis(2))/axis(3);  
theta=atan2(s,c)*180/pi  
theta = 49.38
```



Esempio PCA: interpretazione geometrica

```
N=20; mu=[3 1 2]; Sigma=[1 .2 .8; .2 1 0; .8 0 1];
X=mvnrnd(mu,Sigma,N); MU=mean(X);% media campionaria
[basis,comp,lambda]=pca(X);
fprintf("\ndet(PCA basis) = %g\n", det(basis))
det(PCA basis) = -1     è una rotazione impropria
```



```
E=eye(3); % base standard
disp([cross(E(:,1),E(:,2)) E(:,3)])
0 0
0 0  vettori uguali
1 1
disp([cross(E(:,2),E(:,3)) E(:,1)])
1 1
0 0  vettori uguali
0 0
disp([cross(E(:,3),E(:,1)) E(:,2)])
0 0
1 1  vettori uguali
0 0
```

```
disp([cross(basis(:,1),basis(:,2)) basis(:,3)])
-0.74938    0.74938
 0.20547   -0.20547
 0.62945   -0.62945    vettori opposti
```

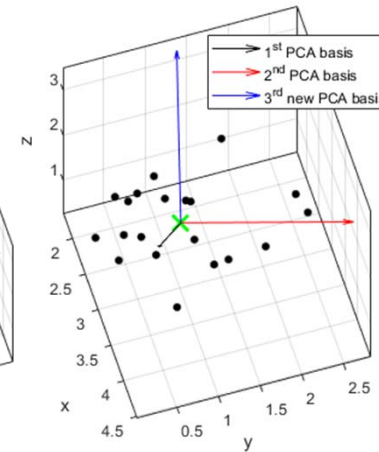
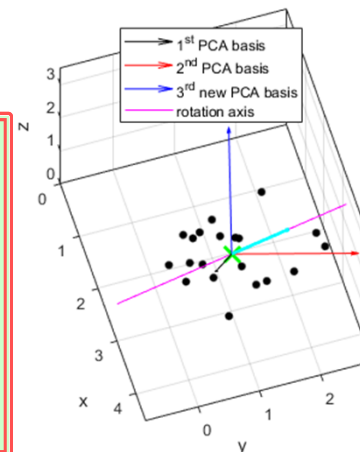
Per ottenere una **matrice di rotazione 3D**, si può, ad es., cambiare segno ad una delle colonne di **basis***
 * Ovviamente, si dovrà cambiare segno anche alla corrispondente colonna di **comp**

`cross(basis(:,1),basis(:,2))` calcola una base per il **complemento ortogonale** di `basis(:,1:2)`

```
P=eye(3); P(3,3)=-1;
basis=basis*P; % nuova base (la 3ª colonna cambia segno)
fprintf("\ndet(PCA basis) = %g\n", det(basis))
det(PCA basis) = 1     ora è una rotazione propria
```

```
disp([cross(basis(:,1),basis(:,2)) null(basis(:,1:2)')])
-0.74938    -0.74938
 0.20547     0.20547  vettori uguali
 0.62945     0.62945
```

```
ax=null(basis - eye(size(basis,1)))
ax =
    0.05614
    0.91699
    0.39494    asse ed angolo della rotazione 3D
c=(trace(basis)-1)/2; % c: cos(theta), s: sin(theta)
s=(basis(2,1)-(1-c)*ax(1)*ax(2))/ax(3);
theta=atan2(s,c)*180/pi
theta = -55.877
```



Derivazione dell'algoritmo per la PCA completa

Nello Spazio Lineare \mathbb{R}^d , avendo a disposizione d vettori linearmente indipendenti $\{\mathbf{u}_i\}$, questi possono costituire una sua base; pertanto $\forall \mathbf{x} \in \mathbb{R}^d$

$$\forall \mathbf{x} \in \mathbb{R}^d \Rightarrow \mathbf{x} = \sum_{i=1}^d z_i \mathbf{u}_i = \mathbf{Uz}, \quad \boxed{z_i} = \mathbf{u}_i^\top \mathbf{x}, \quad \forall i = 1, \dots, d$$

componente di \mathbf{x} rispetto a \mathbf{u}_i

Ciò vale anche per gli N campioni del dataset $\mathcal{D} = \{\mathbf{x}^{[n]}\}_{n=1, \dots, N}$.

Sia \mathbf{x}' il vettore \mathbf{x} con tutte le sue d componenti z_i espresse rispetto alla nuova base $\{\mathbf{u}_1, \dots, \mathbf{u}_d\}$ e sia \mathbf{x}'' il vettore ottenuto considerandone solo le prime $K < d$ componenti:

$$\mathbf{x} = \mathbf{x}' = \sum_{i=1}^d z_i \mathbf{u}_i = \sum_{i=1}^K z_i \mathbf{u}_i + \sum_{i=K+1}^d z_i \mathbf{u}_i, \quad \mathbf{x}'' = \sum_{i=1}^K z_i \mathbf{u}_i$$

\mathbf{x}'' è l'approssimazione di \mathbf{x}' nel sottospazio generato dai primi K vettori \mathbf{u}_i

In \mathbf{x}' si lascino liberi di variare gli ultimi $d-K$ scalari della combinazione lineare (b_i) per determinarli in seguito

$$\mathbf{U}_K = [\mathbf{u}_1, \dots, \mathbf{u}_K] \quad \widetilde{\mathbf{x}'} = \sum_{i=1}^K z_i \mathbf{u}_i + \sum_{i=K+1}^d b_i \mathbf{u}_i$$

Considerato l'intero dataset di N vettori $\mathcal{D} = \{\mathbf{x}^{[n]}\}_{n=1, \dots, N}$, l'errore nel vettore $\mathbf{x}^{[n]}$ è dato da:

$$\mathbf{x}^{[n]} - \widetilde{\mathbf{x}^{[n]}} = \sum_{i=K+1}^d (z_i^{[n]} - b_i) \mathbf{u}_i$$

Si vogliono determinare i vettori della base \mathbf{u}_i e i coefficienti b_i in modo da minimizzare la seguente funzione obiettivo che descrive l'errore nell'intero dataset:

$$\min_{\{\mathbf{u}_i\}, \{b_i\}} J : J = \frac{1}{2} \sum_{n=1}^N \left\| \mathbf{x}^{[n]} - \widetilde{\mathbf{x}^{[n]}} \right\|_2^2 = \frac{1}{2} \sum_{n=1}^N \sum_{i=K+1}^d \left\| (z_i^{[n]} - b_i) \mathbf{u}_i \right\|_2^2 = \frac{1}{2} \sum_{n=1}^N \sum_{i=K+1}^d (z_i^{[n]} - b_i)^2$$

minimizzare SSE (sum of squared errors)

$$\min J : J = \frac{1}{2} \sum_{n=1}^N \left\| \mathbf{x}^{[n]} - \widetilde{\mathbf{x}}^{[n]} \right\|_2^2 = \frac{1}{2} \sum_{n=1}^N \sum_{i=K+1}^d \left\| (z_i^{[n]} - b_i) \mathbf{u}_i \right\|_2^2 = \frac{1}{2} \sum_{n=1}^N \sum_{i=K+1}^d (z_i^{[n]} - b_i)^2$$

Il funzionale J (somma di norme, cioè di funzioni convesse) avrà un minimo non banale ($\neq 0$) solo se si impongono dei vincoli. Per questi si può richiedere che i vettori della base $\{\mathbf{u}_i\}$ siano **ortonormali**: $\langle \mathbf{u}_i, \mathbf{u}_j \rangle = \delta_{ij}$, con δ_{ij} simbolo di Kronecker ($\delta_{ij}=1$ se $i=j$, $\delta_{ij}=0$ se $i \neq j$), vincoli riscritti come segue

$$\langle \mathbf{u}_i, \mathbf{u}_j \rangle - \delta_{ij} = \mathbf{u}_i^\top \mathbf{u}_j - \delta_{ij} = 0.$$

Il **problema di ottimizzazione vincolata con soli vincoli di uguaglianza** può risolversi mediante il **metodo dei moltiplicatori di Lagrange**, risolvendo un problema di minimo libero per la seguente **Funzione Lagrangiana** (dove ogni vincolo, senza l'uguale a zero, è moltiplicato per uno scalare μ_{ij}):

$$\min_{\{b_i\}, \{\mathbf{u}_i\}, \{\mu_{ij}\}} \mathbb{L} : \mathbb{L} = \frac{1}{2} \sum_{n=1}^N \sum_{i=K+1}^d (z_i^{[n]} - b_i)^2 - \frac{1}{2} \sum_{i=K+1}^d \sum_{j=K+1}^d \mu_{ij} (\mathbf{u}_i^\top \mathbf{u}_j - \delta_{ij})$$

moltiplicatori

Il **problema di minimizzazione libera della funzione Lagrangiana \mathbb{L}** viene risolto annullando il suo gradiente (cioè cercando i **punti stazionari di \mathbb{L}**):

$$\frac{\partial \mathbb{L}}{\partial \mu_{hk}} = 0 \Rightarrow \frac{\partial \mathbb{L}}{\partial \mu_{hk}} = \sum_{i=K+1}^d \sum_{j=K+1}^d \frac{\partial}{\partial \mu_{hk}} [\mu_{ij} (\mathbf{u}_i^\top \mathbf{u}_j - \delta_{ij})] = \mathbf{u}_h^\top \mathbf{u}_k - \delta_{hk} = 0, \forall h, k \Rightarrow \{\mathbf{u}_i\} \text{ ortonormali come nei vincoli}$$

$$\frac{\partial \mathbb{L}}{\partial b_i} = 0 \Rightarrow \frac{\partial \mathbb{L}}{\partial b_i} = \frac{1}{2} \sum_{n=1}^N \sum_{j=K+1}^d \frac{\partial}{\partial b_i} \left[(z_j^{[n]})^2 + (b_j)^2 - 2z_j^{[n]} b_j \right] = \frac{1}{2} \sum_{n=1}^N [2b_i - 2z_i^{[n]}] = Nb_i - \sum_{n=1}^N z_i^{[n]} = 0$$

$$\frac{\partial \mathbb{L}}{\partial b_i} = 0 \Leftrightarrow b_i = \frac{1}{N} \sum_{n=1}^N z_i^{[n]} = \frac{1}{N} \sum_{n=1}^N \mathbf{u}_i^\top \mathbf{x}^{[n]} = \mathbf{u}_i^\top \bar{\mathbf{x}} \quad \text{dove} \quad \bar{\mathbf{x}} = \frac{1}{N} \sum_{n=1}^N \mathbf{x}^{[n]} \quad \text{è la media campionaria}$$

Sostituendo b_i in \mathbb{L} , dopo aver invertito le due sommatorie, si ha:

$$\begin{aligned}
\mathbb{L} &= \frac{1}{2} \sum_{i=K+1}^d \sum_{n=1}^N (z_i^{[n]} - b_i)^2 - \frac{1}{2} \sum_{i=K+1}^d \sum_{j=K+1}^d \mu_{ij} (\mathbf{u}_i^\top \mathbf{u}_j - \delta_{ij}) = \\
&= \frac{1}{2} \sum_{i=K+1}^d \sum_{n=1}^N (\underline{\mathbf{u}_i^\top \mathbf{x}^{[n]}} - \underline{\mathbf{u}_i^\top \bar{\mathbf{x}}})^2 - \frac{1}{2} \sum_{i=K+1}^d \sum_{j=K+1}^d \mu_{ij} (\mathbf{u}_i^\top \mathbf{u}_j - \delta_{ij}) = \\
&= \frac{1}{2} \sum_{i=K+1}^d \sum_{n=1}^N \boxed{\mathbf{u}_i^\top (\mathbf{x}^{[n]} - \bar{\mathbf{x}})}^2 - \frac{1}{2} \sum_{i=K+1}^d \sum_{j=K+1}^d \mu_{ij} (\mathbf{u}_i^\top \mathbf{u}_j - \delta_{ij}) =
\end{aligned}$$

Per la propr. simmetrica del prodotto scalare std., il quadrato del prodotto scalare può scriversi come

$$\begin{aligned}
\left\{ \mathbf{u}_i^\top (\mathbf{x}^{[n]} - \bar{\mathbf{x}}) \right\}^2 &= \langle \mathbf{u}_i, (\mathbf{x}^{[n]} - \bar{\mathbf{x}}) \rangle \langle \mathbf{u}_i, (\mathbf{x}^{[n]} - \bar{\mathbf{x}}) \rangle = \langle \mathbf{u}_i, (\mathbf{x}^{[n]} - \bar{\mathbf{x}}) \rangle \langle (\mathbf{x}^{[n]} - \bar{\mathbf{x}}), \mathbf{u}_i \rangle = \\
&= \mathbf{u}_i^\top \boxed{(\mathbf{x}^{[n]} - \bar{\mathbf{x}})(\mathbf{x}^{[n]} - \bar{\mathbf{x}})^\top} \mathbf{u}_i \quad \boxed{\text{prodotto esterno di 2 vettori}}
\end{aligned}$$



$$\begin{aligned}
\mathbb{L} &= \frac{1}{2} \sum_{i=K+1}^d \sum_{n=1}^N \left\{ \mathbf{u}_i^\top (\mathbf{x}^{[n]} - \bar{\mathbf{x}}) \right\}^2 - \frac{1}{2} \sum_{i=K+1}^d \sum_{j=K+1}^d \mu_{ij} (\mathbf{u}_i^\top \mathbf{u}_j - \delta_{ij}) = \\
&= \frac{1}{2} \sum_{i=K+1}^d \sum_{n=1}^N \left\{ \mathbf{u}_i^\top (\mathbf{x}^{[n]} - \bar{\mathbf{x}}) (\mathbf{x}^{[n]} - \bar{\mathbf{x}})^\top \mathbf{u}_i \right\} - \frac{1}{2} \sum_{i=K+1}^d \sum_{j=K+1}^d \mu_{ij} (\mathbf{u}_i^\top \mathbf{u}_j - \delta_{ij}) = \\
&= \frac{1}{2} \sum_{i=K+1}^d \mathbf{u}_i^\top \left\{ \sum_{n=1}^N (\mathbf{x}^{[n]} - \bar{\mathbf{x}}) (\mathbf{x}^{[n]} - \bar{\mathbf{x}})^\top \right\} \mathbf{u}_i - \frac{1}{2} \sum_{i=K+1}^d \sum_{j=K+1}^d \mu_{ij} (\mathbf{u}_i^\top \mathbf{u}_j - \delta_{ij}) =
\end{aligned}$$

\mathbf{u}_i non dipende da n

scatter matrix Σ

(proporzionale alla matrice di covarianza campionaria)

$$\mathbb{L} = \frac{1}{2} \sum_{i=K+1}^d \mathbf{u}_i^\top \Sigma \mathbf{u}_i - \frac{1}{2} \sum_{i=K+1}^d \sum_{j=K+1}^d \mu_{ij} (\mathbf{u}_i^\top \mathbf{u}_j - \delta_{ij})$$

Resta da dimostrare che il **minimo dell'errore J** è raggiunto dagli autovalori/autovettori della **scatter matrix** (stessi autovettori della matrice di covarianza dei dati, autovalori scalati).

Per le **proprietà 2 e 3 del gradiente del prodotto scalare std.**, risulta

$$\begin{aligned} \frac{\partial \mathbb{L}}{\partial \mathbf{u}_h} &= \frac{1}{2} \frac{\partial}{\partial \mathbf{u}_h} \left[\sum_{i=K+1}^d \mathbf{u}_i^\top \Sigma \mathbf{u}_i \right] - \frac{1}{2} \frac{\partial}{\partial \mathbf{u}_h} \left[\sum_{i=K+1}^d \sum_{j=K+1}^d \mu_{ij} (\mathbf{u}_i^\top \mathbf{u}_j - \delta_{ij}) \right] = \\ &= \frac{1}{2} \frac{\partial}{\partial \mathbf{u}_h} \left[\mathbf{u}_h^\top \Sigma \mathbf{u}_h \right] - \frac{1}{2} \frac{\partial}{\partial \mathbf{u}_h} \left[\mu_{hh} \mathbf{u}_h^\top \mathbf{u}_h \right] = \\ &= \frac{1}{2} \left[2 \Sigma \mathbf{u}_h \right] - \frac{1}{2} \mu_{hh} \frac{\partial}{\partial \mathbf{u}_h} \left[\mathbf{u}_h^\top \mathbf{u}_h \right] = \Sigma \mathbf{u}_h - \frac{1}{2} \mu_{hh} \left[2 \mathbf{u}_h \right] = \Sigma \mathbf{u}_h - \mu_{hh} \mathbf{u}_h = 0 \end{aligned}$$

tipica equazione
matriciale per
autovalori/autovettori



Inoltre, l'**errore totale (SSE)** è dato dalla somma dei rimanenti $d - K$ autovalori (con un fattore 1/2).

$$J = \frac{1}{2} \sum_{n=1}^N \left\| \mathbf{x}^{[n]} - \widetilde{\mathbf{x}}^{[n]} \right\|_2^2 = \frac{1}{2} \sum_{i=K+1}^d \mathbf{u}_i^\top \Sigma \mathbf{u}_i = \frac{1}{2} \sum_{i=K+1}^d \mathbf{u}_i^\top \lambda_i \mathbf{u}_i = \frac{1}{2} \sum_{i=K+1}^d \lambda_i \mathbf{u}_i^\top \mathbf{u}_i = \frac{1}{2} \sum_{i=K+1}^d \lambda_i$$



Algoritmo PCA completa

Se si vogliono **tutte** le componenti principali, l'*algoritmo PCA incrementale non è conveniente* computazionalmente.

In tal caso:

- calcolare efficientemente ed accuratamente tutti gli autovalori ed autovettori della matrice di covarianza campionaria (o della scatter matrix), oppure alternativamente della matrice di correlazione.
- ordinare gli autovalori in ordine decrescente (e riordinare di conseguenza i corrispondenti autovettori).

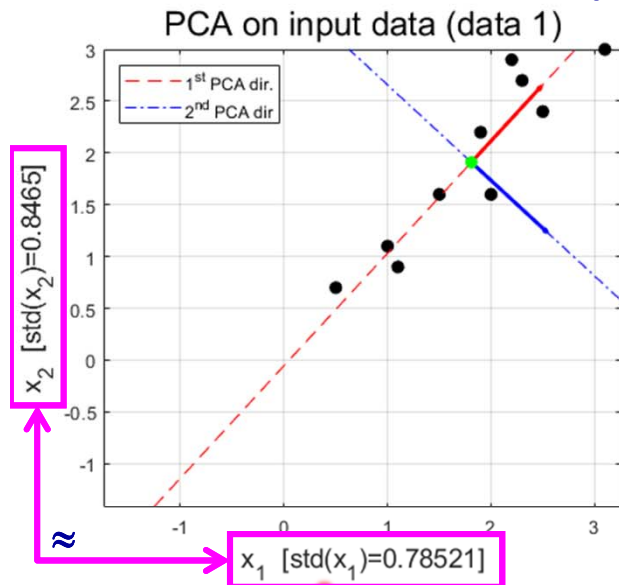
Per la riduzione della dimensionalità dello spazio dei dati:

- calcolare la somma cumulativa normalizzata degli autovalori.
- calcolare il minimo indice K tale che la somma cumulativa normalizzata sia maggiore o uguale ad una tolleranza percentuale.
- selezionare i primi K autovettori come base del sottospazio PCA "ridotto".
- calcolare le componenti dei dati risp. a tale base PCA "ridotta".

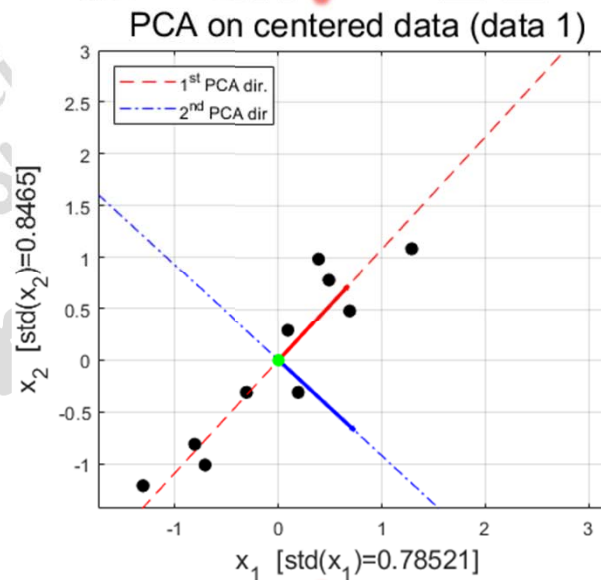
Matrice di covarianza, scatter matrix, o di correlazione: Esempio 1

```
x1=[2.5 0.5 2.2 1.9 3.1 2.3 2.0 1.0 1.5 1.1];
x2=[2.4 0.7 2.9 2.2 3.0 2.7 1.6 1.1 1.6 0.9];
X=[x1;x2]; mu=mean(X,2); Xc=X - mu; Xs=normalize(X,2);
```

direzioni PCA quasi uguali



campioni con deviazione standard simile

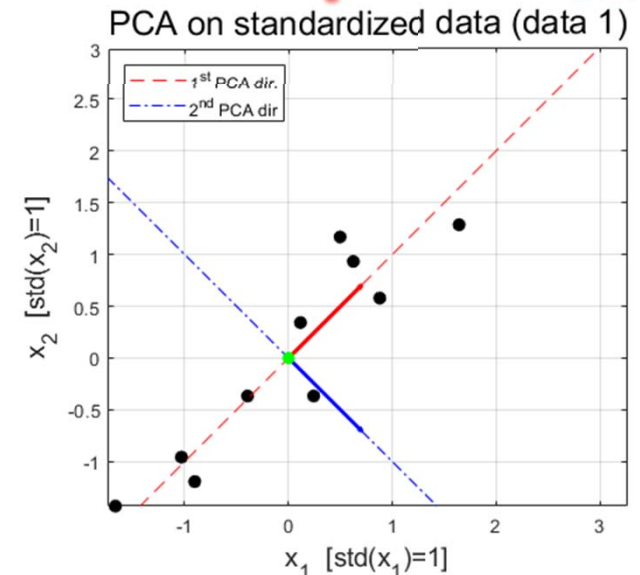


campioni e base PCA sono traslati da μ in $\mathbf{0}$

dati scalati e direzioni PCA diverse solo per un angolo $\sim 2^\circ$

basis =

0.70711	0.70711
0.70711	-0.70711

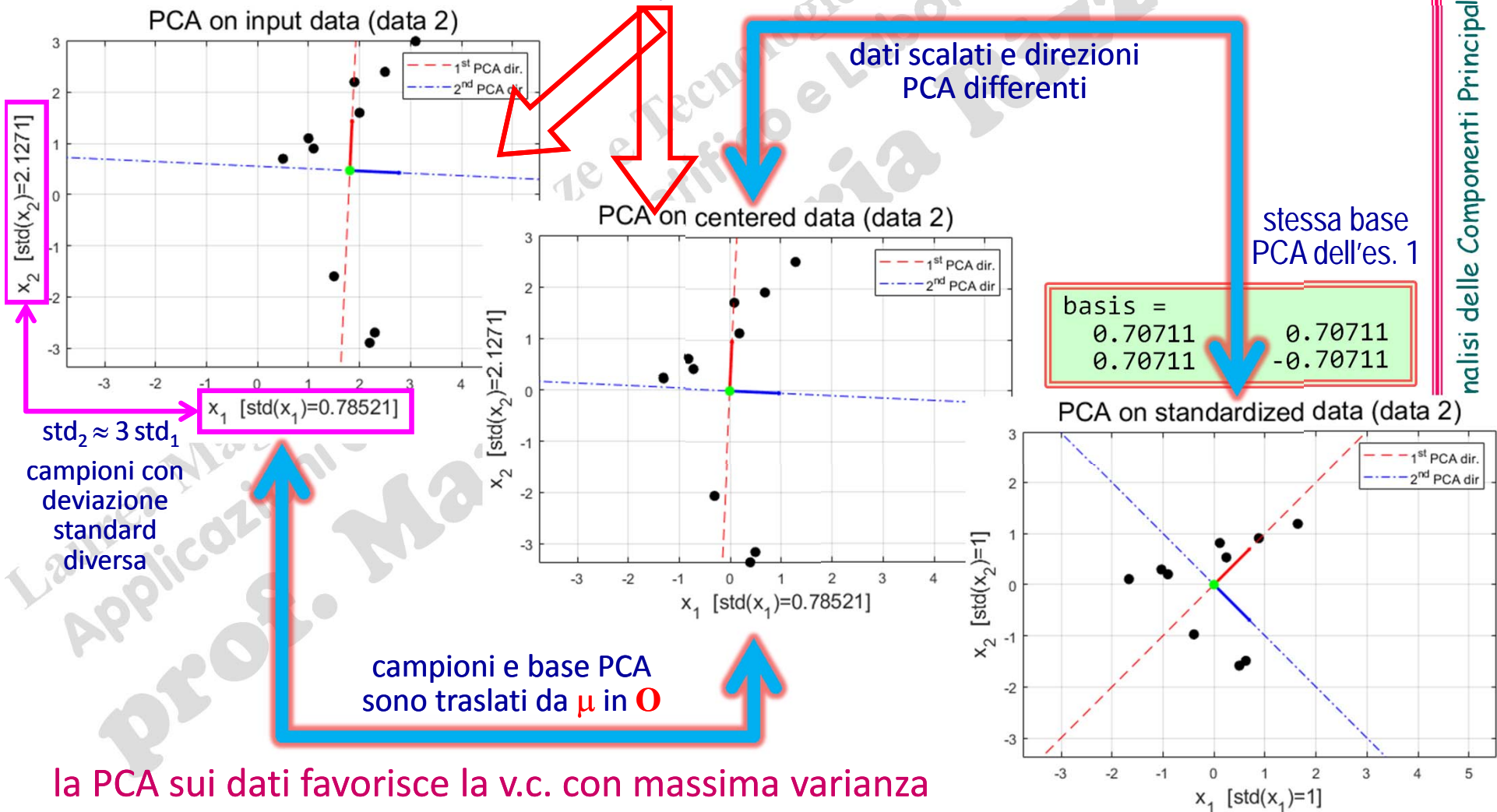


Matrice di covarianza, scatter matrix, o di correlazione: Esempio 2

x_2 : max
varianza

```
x1=[2.5 0.5 2.2 1.9 3.1 2.3 2.0 1.0 1.5 1.1];
x2=[2.4 0.7 -2.9 2.2 3.0 -2.7 1.6 1.1 -1.6 0.9];
X=[x1;x2]; mu=mean(X,2); Xc=X - mu; Xs=normalize(X,2);
```

1^a direzione PCA quasi verticale



Matrice di covarianza, scatter matrix, o di correlazione:

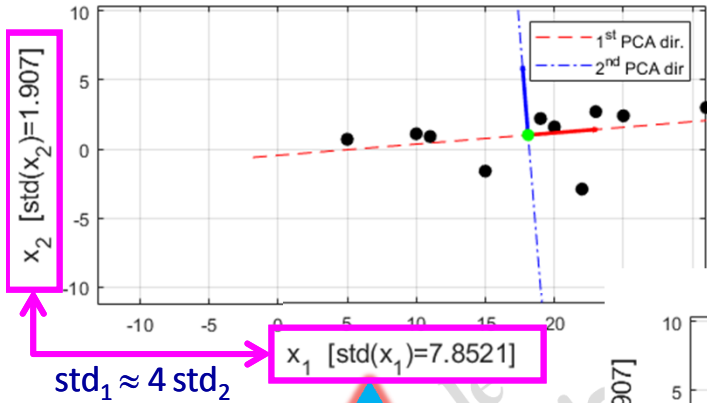
Esempio 3

10×x1 precedente

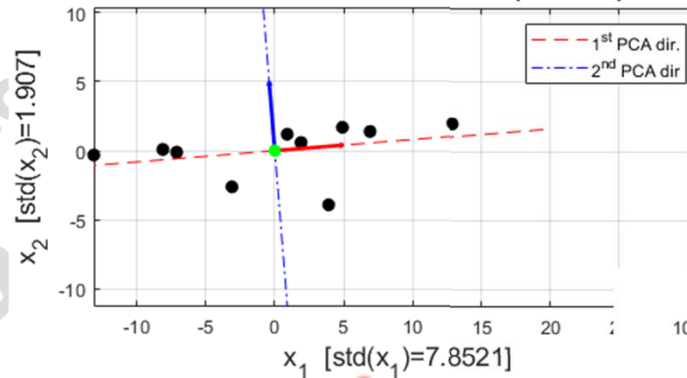
```
x1=[25 5 22 19 31 23 20 10 15 11];
x2=[ 2.4 0.7 -2.9 2.2 3.0 2.7 1.6 1.1 -1.6 0.9];
X=[x1;x2]; mu=mean(X,2); Xc=X - mu; Xs=normalize(X,2);
```

1ª direzione PCA quasi orizzontale

PCA on input data (data 3)



PCA on centered data (data 3)



campioni e base PCA sono traslati da μ in $\mathbf{0}$

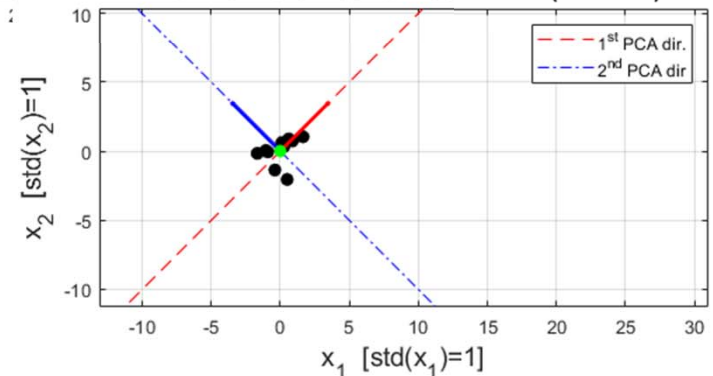
dati scalati e direzioni PCA differenti

stessa base PCA dell'es. 1

cambia solo il verso del 2° vettore

```
basis =
 0.70711  -0.70711
 0.70711   0.70711
```

PCA on standardized data (data 3)



la PCA sui dati favorisce la v.c. con massima varianza

Calcolare autovalori/autovettori con SVD

Richiami: "Singular Value Decomposition" di $A_{m \times n}$

$$A_{m \times n} = U_{m \times m} \cdot S_{m \times n} \cdot V_{n \times n}^T$$

colonne ortonormali

$$U^T \cdot U = I_{m \times m}$$

$$V^T \cdot V = I_{n \times n}$$

valori singolari σ_j di A

$$A1 = A^T \cdot A = V \cdot S^T \cdot U^T \cdot U \cdot S \cdot V^T = V \cdot (S^T \cdot S) \cdot V^T$$

$$A1 = A^T \cdot A = V \cdot S^T \cdot S \cdot V^T$$

autovettori

autovalori σ_j^2

$$A2 = A \cdot A^T = U \cdot S \cdot V^T \cdot V \cdot S^T \cdot U^T = U \cdot (S \cdot S^T) \cdot U^T$$

$$A2 = A \cdot A^T = U \cdot S \cdot V^T \cdot V \cdot S^T \cdot U^T = U \cdot (S \cdot S^T) \cdot U^T$$

In MATLAB: $[U, S, V] = \text{svd}(A)$

ACS parte 2: ACS_09c

Argomenti trattati

- **Applicazione della PCA: l'algoritmo "Eigenfaces".**
- **PCA versus Least Squares.**

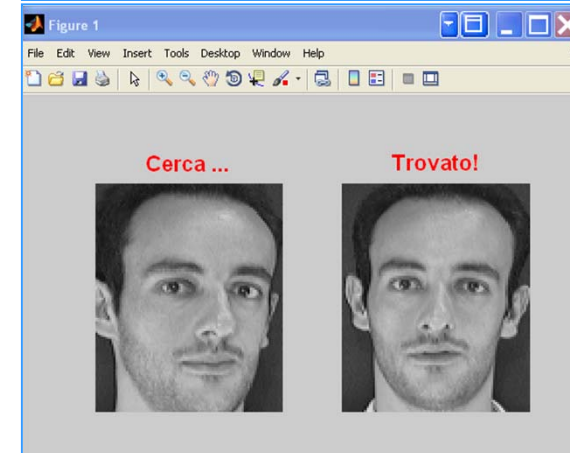
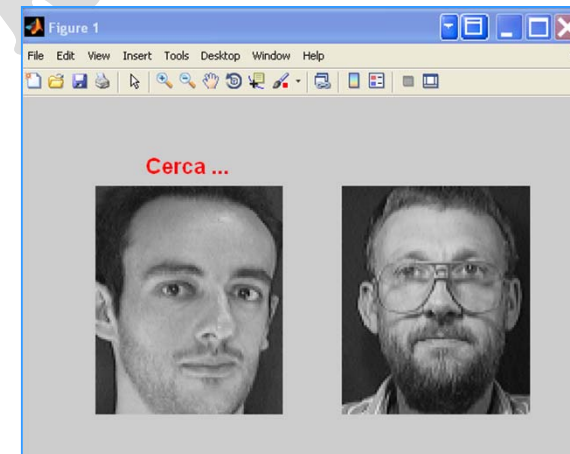
Algoritmo "Eigenfaces" (PCA)

Algoritmo "Autofacce": riconoscere un soggetto tra molti

database di facce* = 400 images (112x92 pxls) = 4 121 600 bytes

* Download il mat-file: `db_400faces_112x92_col_uint8.mat` per il database di facce

- ❑ PCA: riduce lo spazio per memorizzare i dati (compressione di dati).
- ❑ PCA: rende più veloce cercare una faccia nel database.



Algoritmo Eigenfaces: Idea

Il problema è trattato da un punto di vista statistico (PCA): ordinare variabili random per varianze decrescenti.

È possibile estrarre, dalla popolazione di tutte le facce, una “base PCA ridotta” in grado di mantenere l’informazione sui dati entro una tolleranza prestabilita?

Compressione di immagini: invece di memorizzare le immagini, si memorizzano solo i loro “descrittori” (...), il cui numero è molto minore del numero totale dei pixel delle immagini.

Ricerca facciale più veloce: invece di confrontare i pixel delle immagini (molto lento e inutile!), si confrontano solo i loro “descrittori” (...), il cui numero è molto minore del numero totale dei pixel delle immagini. Inoltre è più generale che cercare una corrispondenza esatta tra pixel (stessa immagine).

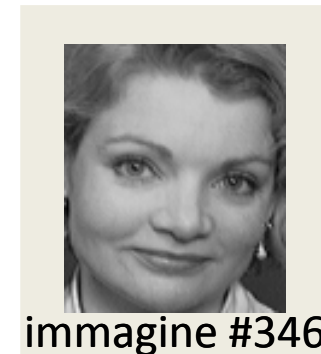
Algoritmo Eigenfaces: com'è organizzato il database

La k^{esima} immagine (112×92 pxls) è salvata in un **vettore** (colonna) X_k , di $10304 = 112 \times 92$ componenti, e tutte queste **colonne** formano una matrice **W** di **uint8*** (interi senza segno a 8-bit).

* Download il mat-file: [db_400faces_112x92_col_uint8.mat](#) per il database delle facce

```
load db_400faces_112x92_col_uint8 % mat-file del database
whos
Name          Size          Bytes          Class
W             10304x400     4121600       uint8
```

```
m=112; n=92;
imshow(reshape(W(:,346),m,n))
```



$X(10304 \times 400)$ è una matrice di numeri double, per i calcoli floating-point

```
X = double(W);
```

per visualizzare le immagini

```
imshow(uint8(reshape(X(:,346),m,n)))
```

```
image(uint8(reshape(X(:,346),m,n)))
```

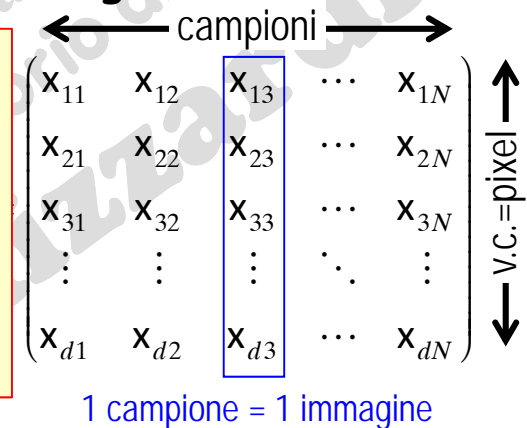
per visualizzare una matrice di numeri come immagine

```
imagesc(reshape(X(:,346),m,n))
axis equal; axis off
colormap('gray')
```

Esempio MATLAB: Algoritmo "Eigenfaces"

`load db_400faces_112x92_col_uint8` $W(10304,400)$: le immagini sono uint8

- 1) Carica nel Workspace di MATLAB il database di facce numerico: la **matrice dei dati** $W(d \times N)$ contiene un campione in ogni colonna. Lo *spazio delle v.c.* ha d dimensioni. Il database completo di facce contiene $N=400$ immagini di size 112×92 pxls. La dimensione dello *spazio delle v.c.* è: $d=10304$.



Soggetto cercato



#380

`ri = 380;` costante oppure random `ri = randi(size(X,2));`

`X = double(W(:,[1:ri-1 ri+1:end]));` double: per calcoli float-point

- 2) Sceglie l'indice **ri** della faccia da cercare, nel database completo, e rimuove il vettore corrispondente dalla matrice dei dati (l'immagine cercata non è esattamente nel database). L'indice **ri** può essere scelto costante o random.

```
Nc = size(X,2);
mu = mean(X,2);
Xc = X - repmat(mu,1,Nc);
```

```
w=uint8(reshape(mu,m,n));
imshow(w)
xlabel('mean face')
```



faccia media

- 3) Calcola il vettore μ (media campionaria) e la matrice centrata dei dati X_c .

Se la faccia da cercare è **#380**, nel database, dello stesso soggetto sono presenti altre 9 pose diverse



4) Applica la PCA:

```
[basis, comp, lambda] = pca(Xc', 'Economy', false);
```

stessi risultati di

```
[basis, comp, lambda] = pca(X', 'Economy', false);
```

```
[basis, comp, lambda] = pca(Xc', 'Economy', true);  
disp(numel(lambda))  
398
```

PCA *cambia base* allo spazio dei vettori dei dati centrati e produce una nuova base di \mathbb{R}^d , $B = \text{basis}$, *ortonormale* (cioè $BB^T = B^T B = I$):

perché *pca* vuole Xc' e non Xc

proiezione PCA : $v \in X_c \rightarrow w = B^T v \in \text{sottospazio PCA}$

ricostruzione PCA^{-1} : $w \in \text{sottospazio PCA} \rightarrow v = B w \in X_c$

$w = \text{comp}'$

Non dimenticare che si sta lavorando con vettori di uno Spazio Lineare

proiezione di X_c sul sottospazio PCA

```
w=basis'*Xc;  
disp(size(w))  
10304 399  
all(all(abs(comp'-w)<1e-9))  
ans =  
logical  
1
```

```
disp(size(basis))  
10304 10304 base ortonormale di  $\mathbb{R}^{10304}$   
all(all(abs(round(basis*basis')-eye(10304))<1e-9))  
ans =  
logical  
1  
all(all(abs(round(basis'*basis)-eye(10304))<1e-9))  
ans =  
logical  
1
```

comp' componenti risp. alla base PCA

ricostruzione X_c dal sottospazio PCA

```
v=basis*comp'; % *w  
disp(size(v))  
10304 399  
all(all(abs(Xc-v)<1e-9))  
ans =  
logical  
1
```

La PCA può essere calcolata numericamente mediante gli *autovalori* ed *autovettori* della matrice di covarianza oppure mediante fattorizzazione SVD di X_c .

elapsed time di **eig** di cov: 89.72 sec

elapsed time di **svd** di X_c : 4.767 sec

elapsed time di **pca** di X : 3.912 sec

5) Per stabilire un opportuno size per la base PCA ridotta, calcola la somma cumulativa normalizzata della "varianza spiegata" ("explained variance") delle v.c. (features):

```
PERCtol=0.75; % percentuale di tolleranza
```

```
PERC=cumsum(lambda)/sum(lambda);
```

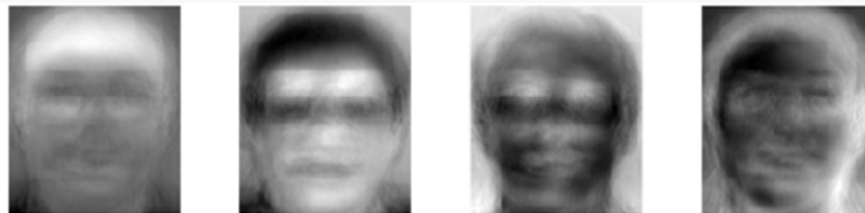
```
N=find(PERC >= PERCtol,1,'first');
```

```
Rbasis=basis(:,1:N);
```

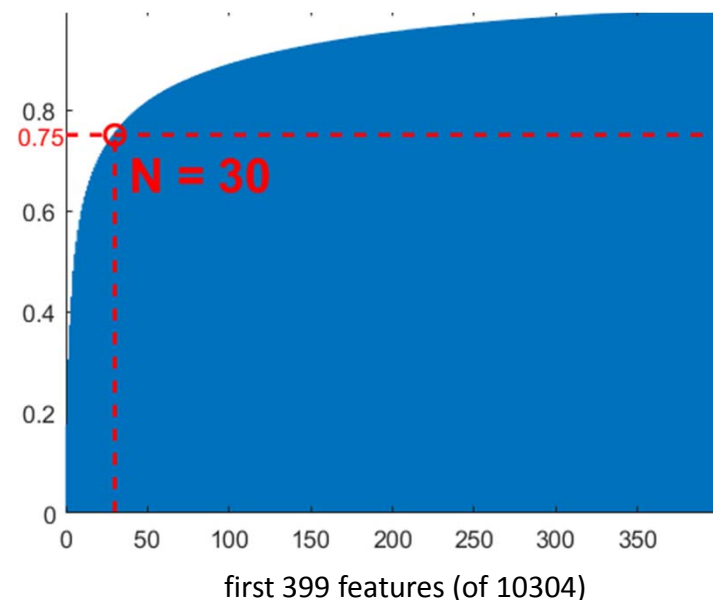
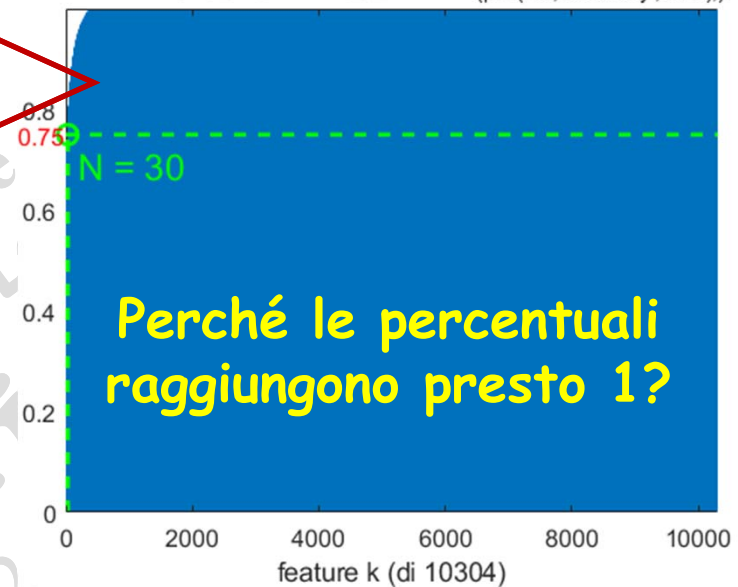
base PCA ridotta

L'algoritmo ha ridotto la base dello spazio dei pixel da 10304 a 30 vettori.

Le prime 8 Autofacce della ... base "spettrale" (base PCA)



"spettrale" come da autovalori, ... ma anche come fantasmi



proiezione sul sottospazio PCA

```
Rcomp = Rbasis'*Xc;  
disp(size(Rcomp))  
30 399  
disp(size(comp'))  
10304 399
```



```
Rcomp1 = comp(:,1:N)';  
all(all(abs(Rcomp1-Rcomp) < 1e-9))  
ans =  
logical  
1
```

6) Calcola il database ridotto, cioè tutte le componenti delle facce rispetto alla **base PCA ridotta**.

Il database delle facce, rispetto alla **base standard**, ha dimensioni **10304×399**.

Ora, rispetto alla **base PCA ridotta**, le sue dimensioni sono **30×399** (compressione dei dati).

```
Wb=Rbasis'*(double(W(:,ri)) - mu);
```

matematicamente
equivalente a

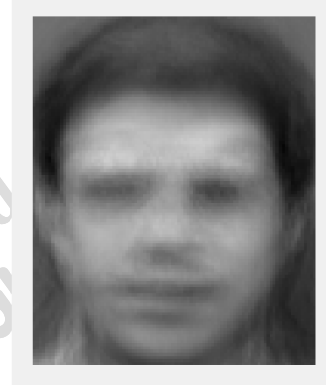
```
Wr=Rbasis\*(double(W(:,ri)) - mu);  
all((abs(Wb-Wr(1:N)) < 1e-9))  
ans =  
logical  
1
```

immagine da cercare

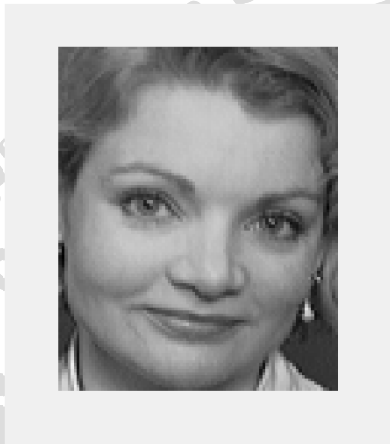
7) Anche l'immagine da cercare è proiettata sul sottospazio PCA.



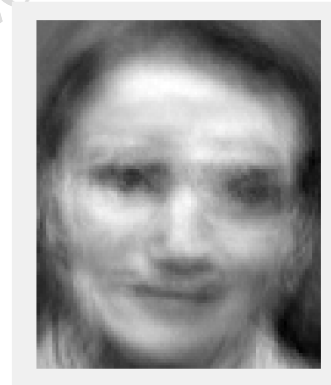
faccia originale
cercata



ricostruzione della
faccia cercata



faccia #346



ricostruzione della
faccia #346

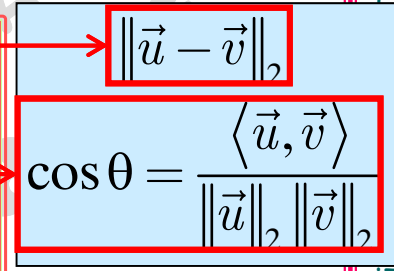
Laurea Magistrale in Ingegneria delle Scienze e Tecnologie e Laurea Specialistica in Ingegneria Informatica
Prof. M. Rizzardi
A.A. 2023/2024

8) Cerca la **faccia voluta** nel nuovo database ridotto.

Per trovare il soggetto usa **due metriche** diverse (solo per confrontarne i risultati)

```

DIST = zeros(Nc,1);    SIML = zeros(Nc,1);
for j=1:Nc
    % metrica di distanza: norma euclidea del vettore residuo
    DIST(j) = norm(Rcomp(:,j) - Wb);
    % metrica di similarità: coseno dell'angolo tra i vettori
    SIML(j) = dot(Rcomp(:,j),Wb)/(norm(Rcomp(:,j))*norm(Wb));
end
    
```



forma scalare

```

DIST=vecnorm(Rcomp-Wb); DIST=DIST';
SIML=(Rcomp'*Wb)/norm(Wb)./(vecnorm(Rcomp))';
    
```

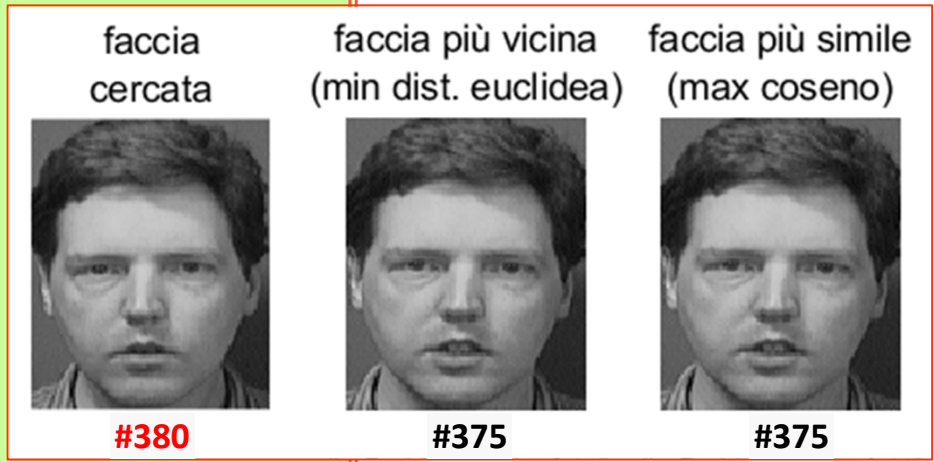
forma vettoriale

```

% i migliori risultati
Jdist = find(DIST == min(DIST),1,'first');
Jsiml = find(SIML == max(SIML),1,'first');
    
```

```

% corregge l'indice dell'immagine (per riportarlo al database intero)
if Jdist >= ri      solo per visualizzare
    JJdist=Jdist+1;
else
    JJdist=Jdist;
end
if Jsiml >= ri
    JJsiml=Jsiml+1;
else
    JJsiml=Jsiml;
end
    
```



9) Cerca i 4 migliori risultati:

PERCtol=0.75; % tolleranza percentuale

```
[DIST,J1] = sort(DIST); % euclidean norm
```

```
for k=1:4
```

```
    if J1(k) >= ri  
        JJ=J1(k)+1;
```

```
    else
```

```
        JJ=J1(k);
```

```
    end
```

```
    JJ
```

```
end
```

```
[SIML,J2] = sort(SIML,'descend'); % cosine
```

```
for k=1:4
```

```
    if J2(k) >= ri
```

```
        JJ=J2(k)+1;
```

```
    else
```

```
        JJ=J2(k);
```

```
    end
```

```
    JJ
```

```
end
```

corregge l'indice delle immagini per riportarle all'intero database

soggetto cercato #380



1^a faccia più vicina #375



dist/max(dist)=0.11523
coseno = 0.95971

2^a faccia più vicina #372



dist/max(dist)=0.14928
coseno = 0.93431

3^a faccia più vicina #377



dist/max(dist)=0.20234
coseno = 0.86906

4^a faccia più vicina #373



dist/max(dist)=0.24896
coseno = 0.82538



1^a faccia più simile #375



dist/max(dist)=0.11523
coseno = 0.95971

2^a faccia più simile #372



dist/max(dist)=0.14928
coseno = 0.93431

3^a faccia più simile #377



dist/max(dist)=0.20234
coseno = 0.86906

4^a faccia più simile #376



dist/max(dist)=0.27
coseno = 0.82578



PERCtol=0.75; % tolleranza percentuale

un'altra ricerca

1^a faccia più vicina #156



dist/max(dist)=0.65734
coseno = 0.055058

2^a faccia più vicina #152



dist/max(dist)=0.655
coseno = 0.063914

3^a faccia più vicina #153



dist/max(dist)=0.65608
coseno = 0.060561

4^a faccia più vicina #146



dist/max(dist)=0.65049
coseno = 0.10322

metrica: $\|\vec{u} - \vec{v}\|_2$



#157

metrica: $\cos \theta = \frac{\langle \vec{u}, \vec{v} \rangle}{\|\vec{u}\|_2 \|\vec{v}\|_2}$

1^a faccia più simile #156



dist/max(dist)=0.65734
coseno = 0.81892

2^a faccia più simile #152



dist/max(dist)=0.655
coseno = 0.65951

3^a faccia più simile #155



dist/max(dist)=0.65714
coseno = 0.58542

4^a faccia più simile #153



dist/max(dist)=0.65608
coseno = 0.56828

Esercizio

Implementare l'algoritmo* "Eigenfaces", e calcolare gli autovalori/autovettori mediante le funzioni MATLAB:

pca(): PCA of X, e di Xc, e di Xs;

svd(): fattorizzazione SVD di Xc, e di Xs;

eig(): autovalori/autovettori di $Xc \cdot Xc'$, e di $Xs \cdot Xs'$; confrontandone i risultati.

Confrontare anche i loro tempi di esecuzione con

tic, ..., T=toc.



inserire qui il codice da valutare

* Download il mat-file [db_400faces_112x92_col_uint8.mat](#) per il database di facce

Vedere l'Help Browser di MATLAB per usare **tic, ..., T=toc.**

Esercizio

Scrivere una funzione MATLAB per implementare l'algoritmo "PCA incrementale" (dove il massimo autovalore ed il corrispondente autovettore sono calcolati dalla funzione "powerMethod"), confrontandone i risultati con quelli restituiti dalla funzione MATLAB `pca()`.

Confrontare anche i tempi di esecuzione mediante `tic, ..., T=toc.`

Retta di regressione in \mathbb{R}^2

In Statistica la retta dei Minimi Quadrati Lineari ("Linear Least Squares") è detta **retta di regressione**.

A differenza della **correlazione**, che indica una dipendenza stocastica tra due variabili casuali x and y , la **regressione** denota una dipendenza funzionale tra x e y :

- $y = \Phi(x)$, cioè y dipende da x ,
- o $x = \Psi(y)$, cioè x dipende da y .

In particolare, per la **regressione lineare** $\Phi(x)$, o $\Psi(y)$, è una funzione lineare.

➤ **Regressione Lineare di y risp. a x : $y = \Phi(x) = ax + b$**

Si deve minimizzare il seguente funzionale

$$J_{LS}^{(1)}(a, b) = \sum_{i=1}^n [y_i - (ax_i + b)]^2$$

➤ **Regressione Lineare di x risp. a y : $x = \Psi(y) = cy + d$**

Si deve minimizzare il seguente funzionale

$$J_{LS}^{(2)}(c, d) = \sum_{i=1}^n [x_i - (cy_i + d)]^2$$

Retta di regressione di y risp. a x in \mathbb{R}^2

Per definizione la retta "Least Squares" $r : y=ax+b$, relativa ai dati $(x_i, y_i)_{i=1, \dots, n}$, minimizza la somma dei quadrati dei residui: $\min J_{LS}(a, b)$

$$J_{LS}^{(1)}(a, b) = \sum_{i=1}^n \underbrace{[y_i - (ax_i + b)]^2}_{\text{residui}}$$

$$\nabla J_{LS}(a, b) = 0 \begin{cases} \frac{\partial}{\partial a} J_{LS}^{(1)} = 0 \Leftrightarrow 2 \sum_{i=1}^n [y_i - (ax_i + b)] x_i = 0 \\ \frac{\partial}{\partial b} J_{LS}^{(1)} = 0 \Leftrightarrow 2 \sum_{i=1}^n [y_i - (ax_i + b)] = 0 \end{cases}$$

$$J_{LS}^{(1)}(a, b) = \left\| \begin{pmatrix} x_1 & 1 \\ x_2 & 1 \\ \vdots & \vdots \\ x_n & 1 \end{pmatrix} \begin{pmatrix} a \\ b \end{pmatrix} - \begin{pmatrix} y_1 \\ y_2 \\ \vdots \\ y_n \end{pmatrix} \right\|_2^2 = \left\| A \begin{pmatrix} a \\ b \end{pmatrix} - \mathbf{y} \right\|_2^2$$

$$\frac{1}{n} \sum_{i=1}^n [y_i - (ax_i + b)] = 0$$

media

$$\frac{1}{n} \sum_{i=1}^n y_i = a \frac{1}{n} \sum_{i=1}^n x_i + \frac{1}{n} \sum_{i=1}^n b$$

$$\frac{\partial}{\partial b} J_{LS}^{(1)} = 0 \Rightarrow \bar{y} = a\bar{x} + b$$

cioè la retta Least Squares, per i dati $(x_i, y_i)_{i=1, \dots, n}$, passa per il punto:

media campionaria $P_\mu \equiv (\bar{x}, \bar{y}) = \left(\frac{1}{n} \sum_{i=1}^n x_i, \frac{1}{n} \sum_{i=1}^n y_i \right)$

Retta Least Squares in \mathbb{R}^2 con MATLAB

$$r : y = ax + b$$

```
% P: 2D punti campione da  $\mathcal{N}(\mu, \Sigma)$   
N=10; P=mvnrnd([3 1],[1 .2; .2 .7],N);  
B0=mean(P); % media campion. (baricentro)
```

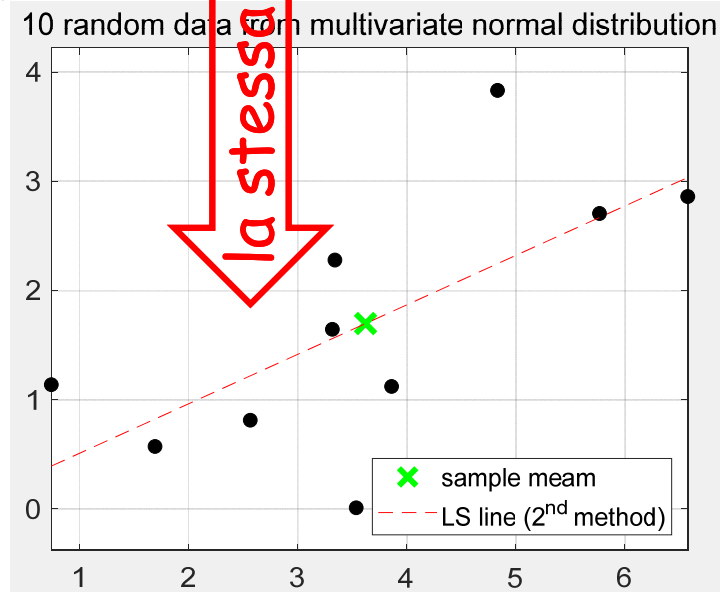
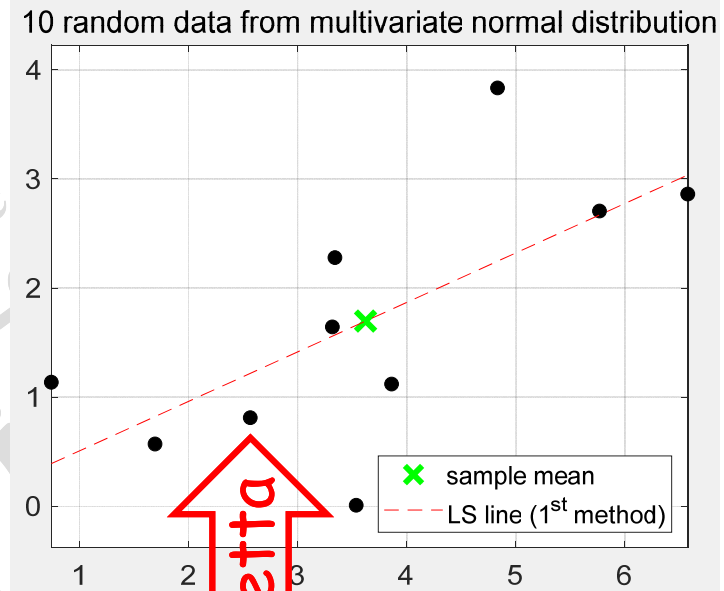
1° metodo: solo per \mathbb{R}^2

```
% retta Least Squares - 1° metodo  
Xi=P(:,1); Yi=P(:,2); X=[min(Xi) max(Xi)];  
coef1=polyfit(Xi,Yi,1);  
Y=polyval(coef1,X);
```

2° metodo: sistema sovradeterminato più generale

$$y_i = ax_i + b, \quad i = 1, \dots, n$$
$$\begin{pmatrix} x_1 & 1 \\ x_2 & 1 \\ \vdots & \vdots \\ x_n & 1 \end{pmatrix} \begin{pmatrix} a \\ b \end{pmatrix} = \begin{pmatrix} y_1 \\ y_2 \\ \vdots \\ y_n \end{pmatrix}$$

```
% retta Least Squares - 2° metodo  
Xi=P(:,1); Yi=P(:,2); X=[min(Xi) max(Xi)];  
A=[Xi ones(N,1)]; coef2=A\Yi;  
Y=polyval(coef2,X);
```

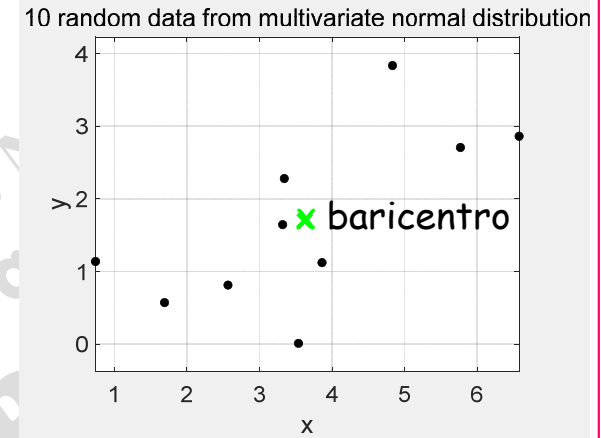


la stessa retta

Rette di regressione in \mathbb{R}^2 con MATLAB

```

% P: 2D punti campione da  $\mathcal{N}(\mu, \Sigma)$ 
N=10; MU=[3 1]; SIGMA=[1 .2; .2 .7];  $\Sigma = \begin{pmatrix} 1 & 0.2 \\ 0.2 & 0.7 \end{pmatrix}$ 
P=mvnrand(MU,SIGMA,N);
B0=mean(P); % baricentro (media campionaria)
Xi=P(:,1); Yi=P(:,2);
plot(Xi,Yi,'ok','MarkerFaceColor','k')
axis equal; grid on
    
```



regressione di **y** su **x**

$$r : y = ax + b$$

$$y_i = ax_i + b, \quad i = 1, \dots, n$$

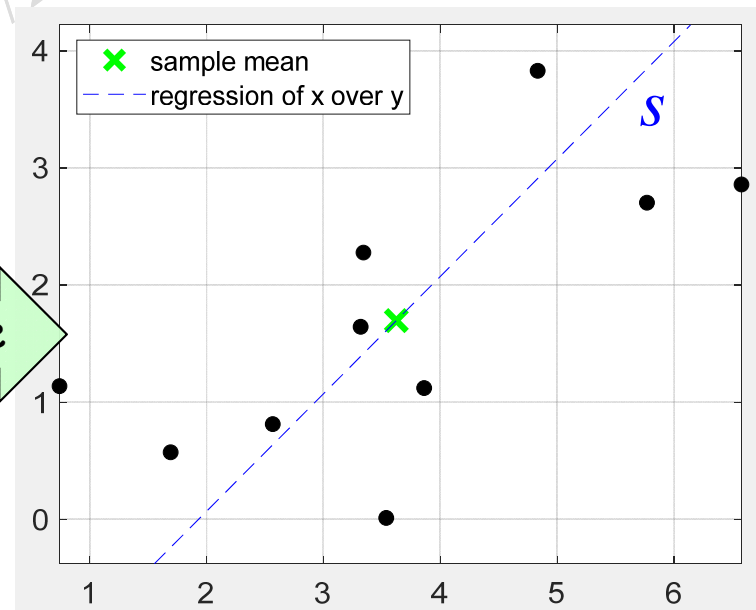
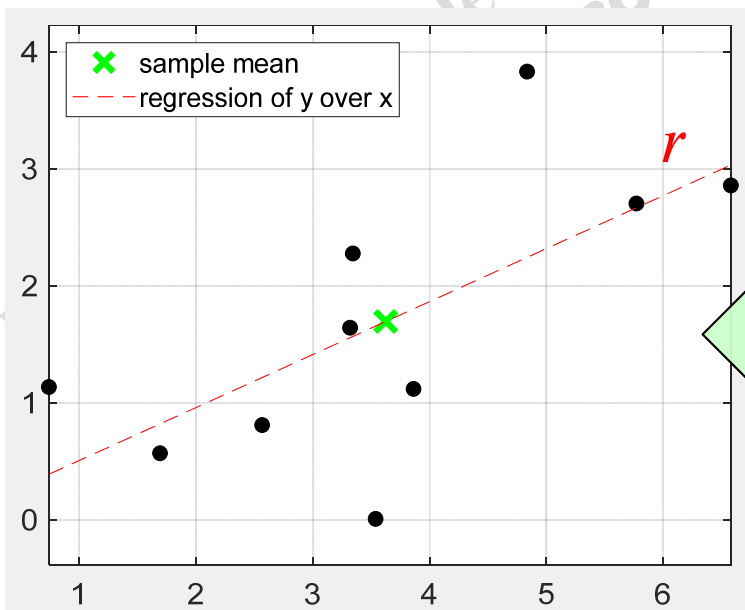
$$\begin{pmatrix} x_1 & 1 \\ x_2 & 1 \\ \vdots & \vdots \\ x_n & 1 \end{pmatrix} \begin{pmatrix} a \\ b \end{pmatrix} = \begin{pmatrix} y_1 \\ y_2 \\ \vdots \\ y_n \end{pmatrix}$$

regressione di **x** su **y**

$$s : x = cy + d$$

$$x_i = cy_i + d, \quad i = 1, \dots, n$$

$$\begin{pmatrix} y_1 & 1 \\ y_2 & 1 \\ \vdots & \vdots \\ y_n & 1 \end{pmatrix} \begin{pmatrix} c \\ d \end{pmatrix} = \begin{pmatrix} x_1 \\ x_2 \\ \vdots \\ x_n \end{pmatrix}$$



rette diverse



Rette di regressione in \mathbb{R}^2 con MATLAB

regressione di y su x

$$r : y = ax + b$$

$$y_i = ax_i + b, \quad i = 1, \dots, n$$

$$J_{LS}^{(1)}(a, b) = \sum_{i=1}^n [y_i - (ax_i + b)]^2$$

regressione di x su y

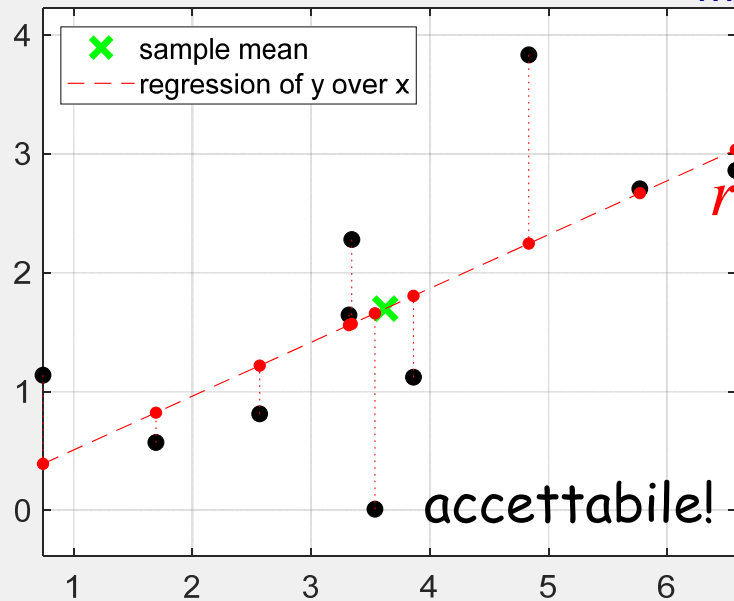
$$s : x = cy + d$$

$$x_i = cy_i + d, \quad i = 1, \dots, n$$

$$J_{LS}^{(2)}(c, d) = \sum_{i=1}^n [x_i - (cy_i + d)]^2$$

Stesso campione di dati da
distribuz. Normale con
matrice di covarianza Σ

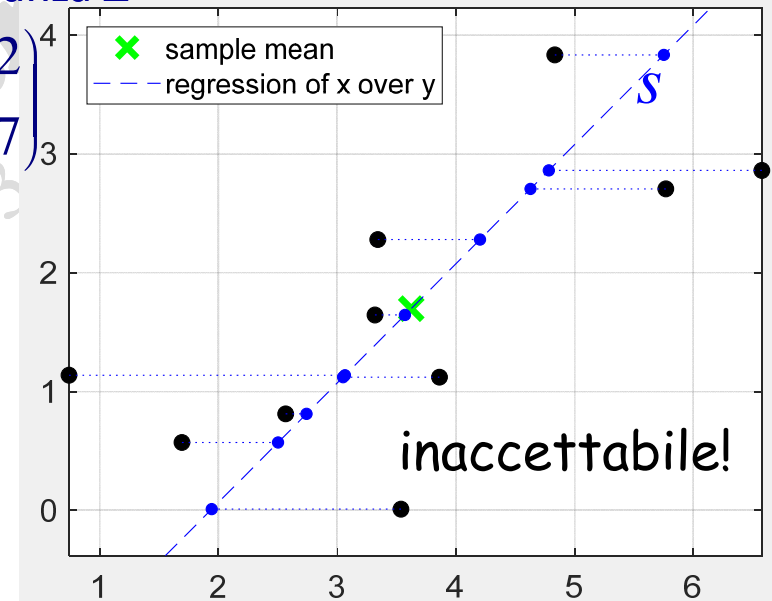
$$J_{LS}(a, b) = 7.026$$



$$\Sigma = \begin{pmatrix} 1 & 0.2 \\ 0.2 & 0.7 \end{pmatrix}$$

N=10

$$J_{LS}(c, d) = 15.4668$$



Esercizio: produrre grafici simili per N=20 con i valori dei J_{LS}

Piano Least Squares in \mathbb{R}^3

Per definizione il piano "Least Squares" $\pi : z = ax + by + c$, relativo ai dati $(x_i, y_i, z_i)_{i=1, \dots, n}$, minimizza la somma dei quadrati dei residui: $\min J_{LS}(a, b, c)$

$$J_{LS}(a, b, c) = \sum_{i=1}^n \underbrace{\left[z_i - (ax_i + by_i + c) \right]^2}_{\text{residui}}$$

$$J_{LS}(a, b, c) = \left\| \begin{pmatrix} x_1 & y_1 & 1 \\ x_2 & y_2 & 1 \\ \vdots & \vdots & \vdots \\ x_n & y_n & 1 \end{pmatrix} \begin{pmatrix} a \\ b \\ c \end{pmatrix} - \begin{pmatrix} z_1 \\ z_2 \\ \vdots \\ z_n \end{pmatrix} \right\|_2^2 = \left\| A \begin{pmatrix} a \\ b \\ c \end{pmatrix} - \mathbf{z} \right\|_2^2$$

Come già visto per la retta Least Squares, anche il **piano Least Squares**, per i dati $(x_i, y_i, z_i)_{i=1, \dots, n}$, passa per il punto medio campionaria

$$P_\mu \equiv (\bar{x}, \bar{y}, \bar{z}) = \left(\frac{1}{n} \sum_{i=1}^n x_i, \frac{1}{n} \sum_{i=1}^n y_i, \frac{1}{n} \sum_{i=1}^n z_i \right)$$

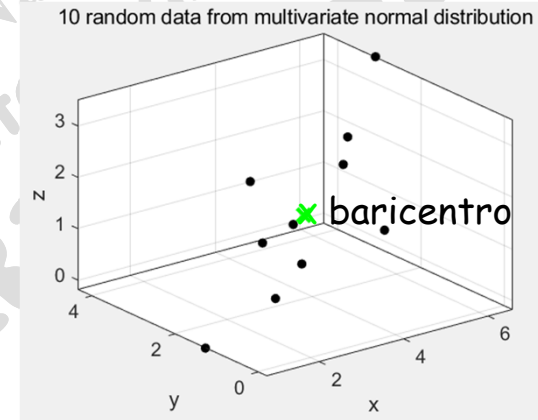
In generale l'**iperpiano Least Squares** in \mathbb{R}^d , di dimensione $d-1$ e relativo agli n dati ($n > d$) $P_i(x_1^{(i)}, x_2^{(i)}, \dots, x_d^{(i)})_{i=1, \dots, n}$ minimizza il funzionale J_{LS}

Piano di regressione di z su x,y in \mathbb{R}^3 con MATLAB (piano Least Squares) $\pi_z : z = ax + by + c$

Campione di dati da distrib. Normale con matrice di covarianza Σ

$$\Sigma = \begin{pmatrix} 1 & 0.2 & 0.7 \\ 0.2 & 1 & 0 \\ 0.7 & 0 & 1 \end{pmatrix}$$

```
%% P: punti campione 3D da  $\mathcal{N}(\mu, \Sigma)$ 
N=10; P=mvnrnd([3 1 1],[1 .2 .7; .2 1 0; .7 0 1],N);
B0=mean(P); % media campionaria (baricentro)
Xi=P(:,1); Yi=P(:,2); Zi=P(:,3);
```



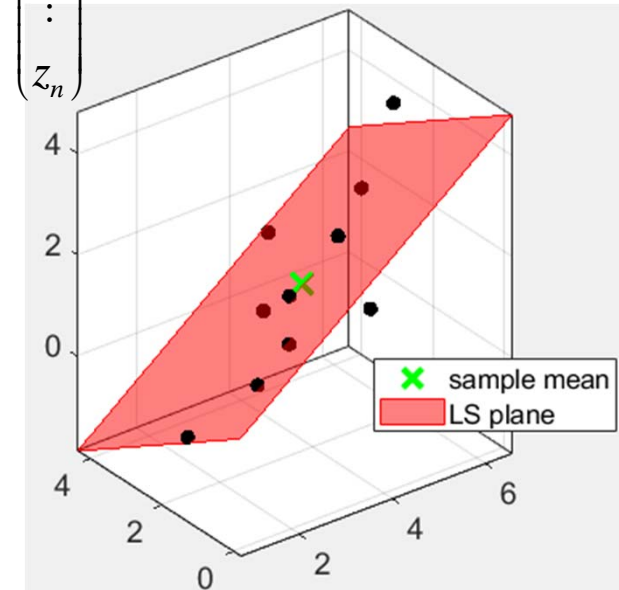
2° metodo (più generale)

$$z_i = ax_i + by_i + c, \quad i = 1, \dots, n$$

$$\begin{pmatrix} x_1 & y_1 & 1 \\ x_2 & y_2 & 1 \\ \vdots & \vdots & \vdots \\ x_n & y_n & 1 \end{pmatrix} \begin{pmatrix} a \\ b \\ c \end{pmatrix} = \begin{pmatrix} z_1 \\ z_2 \\ \vdots \\ z_n \end{pmatrix}$$

```
%% piano Least Squares
```

```
A=[Xi Yi ones(N,1)];
coefZ = A\Zi;
```

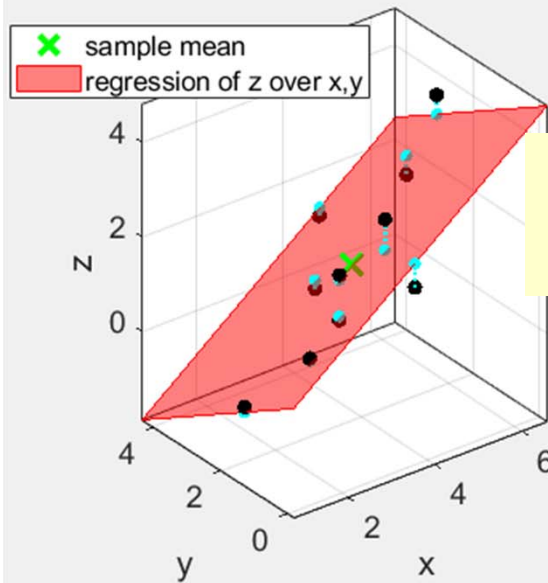


Piani di regressione in \mathbb{R}^3 con MATLAB

regressione di z su x,y

$$\pi_z : z = ax + by + c$$

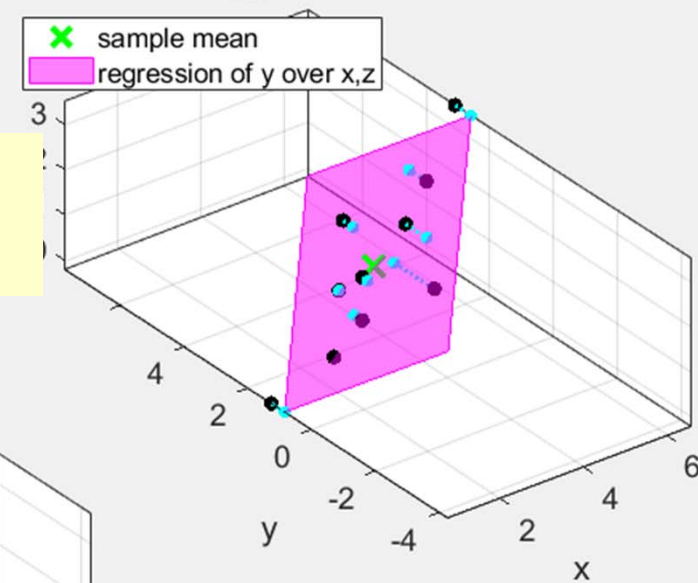
$$J_{LS}^{(z)}(a,b,c) = 1.0853$$



regressione di y su x,z

$$\pi_y : y = ax + bz + c$$

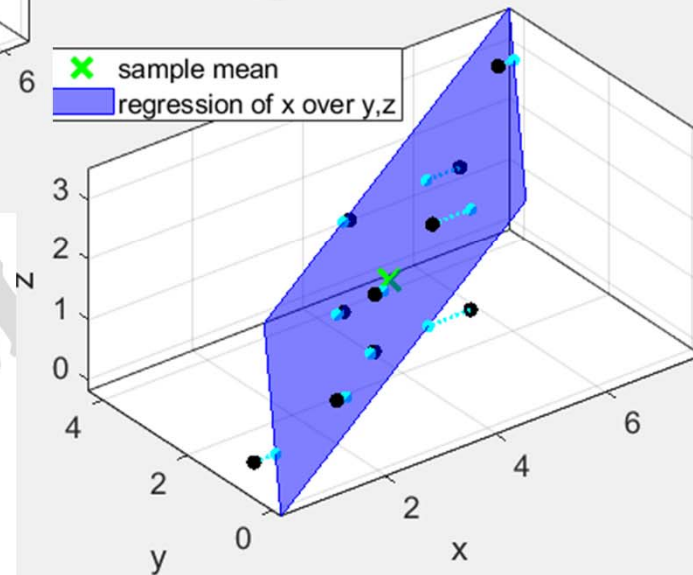
$$J_{LS}^{(y)}(a,b,c) = 2.9624$$



regressione di x su y,z

$$\pi_x : x = ay + bz + c$$

$$J_{LS}^{(x)}(a,b,c) = 1.7571$$



Esercizio: produrre grafici simili per $N=20$ con il valore di J_{LS}

Retta Least Squares **VERSUS** retta PCA

dati di input: $P_i(x_i, y_i)_{i=1, \dots, n}$ **media campionaria** $P_\mu(\bar{x}, \bar{y})$:
 $\bar{x} = \frac{1}{n} \sum_{i=1}^n x_i = \text{mean}(\vec{x})$
 $\bar{y} = \frac{1}{n} \sum_{i=1}^n y_i = \text{mean}(\vec{y})$

□ La retta Least Squares $y=ax+b$ minimizza il funzionale J_{LS} :

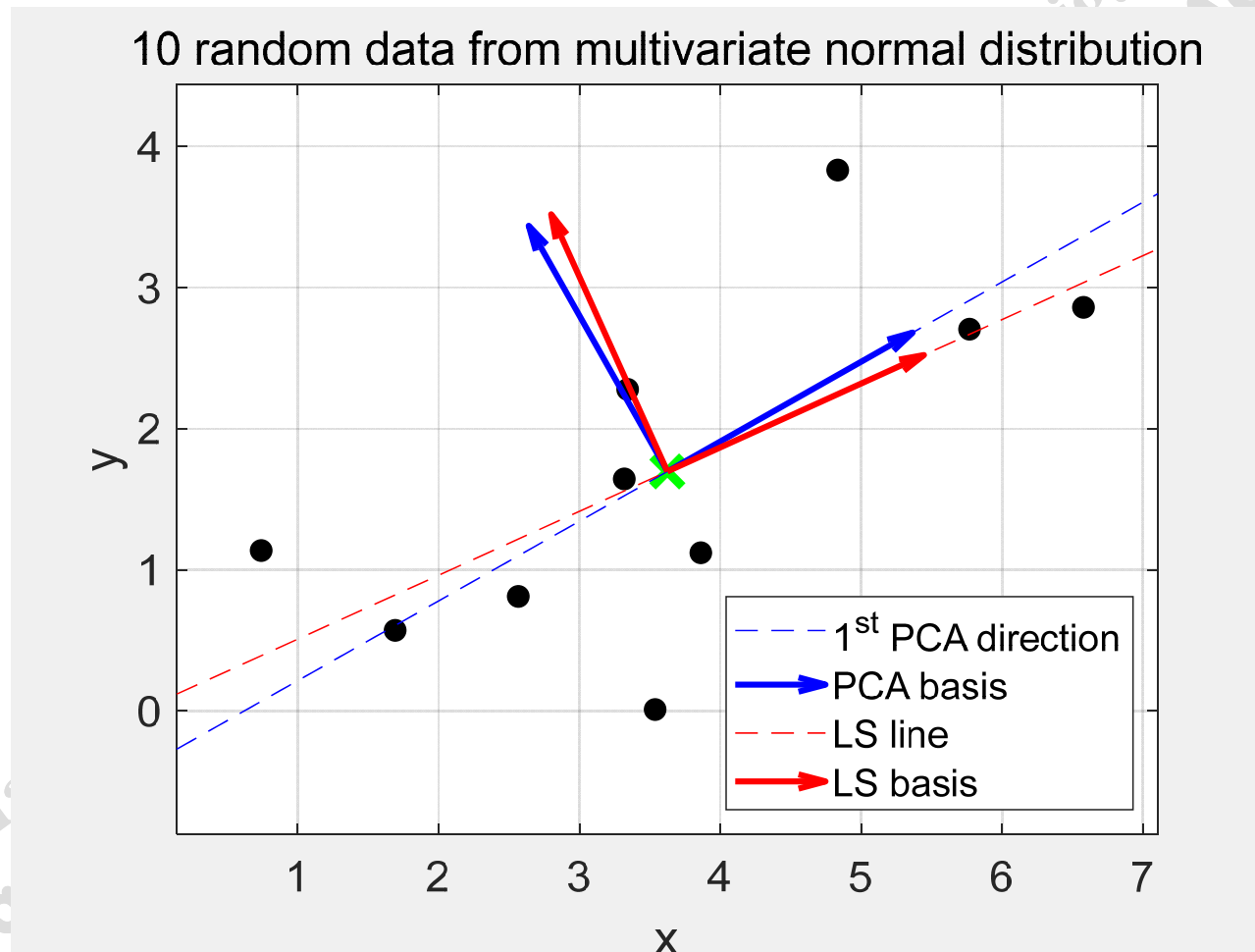
$$\text{dove } A = \begin{pmatrix} x_1 & 1 \\ x_2 & 1 \\ \vdots & \vdots \\ x_n & 1 \end{pmatrix}, \quad \mathbf{y} = \begin{pmatrix} y_1 \\ y_2 \\ \vdots \\ y_n \end{pmatrix}, \quad J_{LS} = \left\| A \begin{pmatrix} a \\ b \end{pmatrix} - \mathbf{y} \right\|_2^2$$

□ La retta 1^a direzione principale PCA minimizza il funzionale J_{PCA} :

$$J_{PCA} = \sum_{i=1}^n \left\| P_i - P_i^{PCA} \right\|_2^2$$

dove P_i^{PCA} è la proiezione ortogonale di P_i sulla retta passante per P_μ e parallela a \mathbf{e} , che è l'autovettore relativo al massimo autovalore della matrice di covarianza campionaria.

Retta Least Squares VS retta PCA

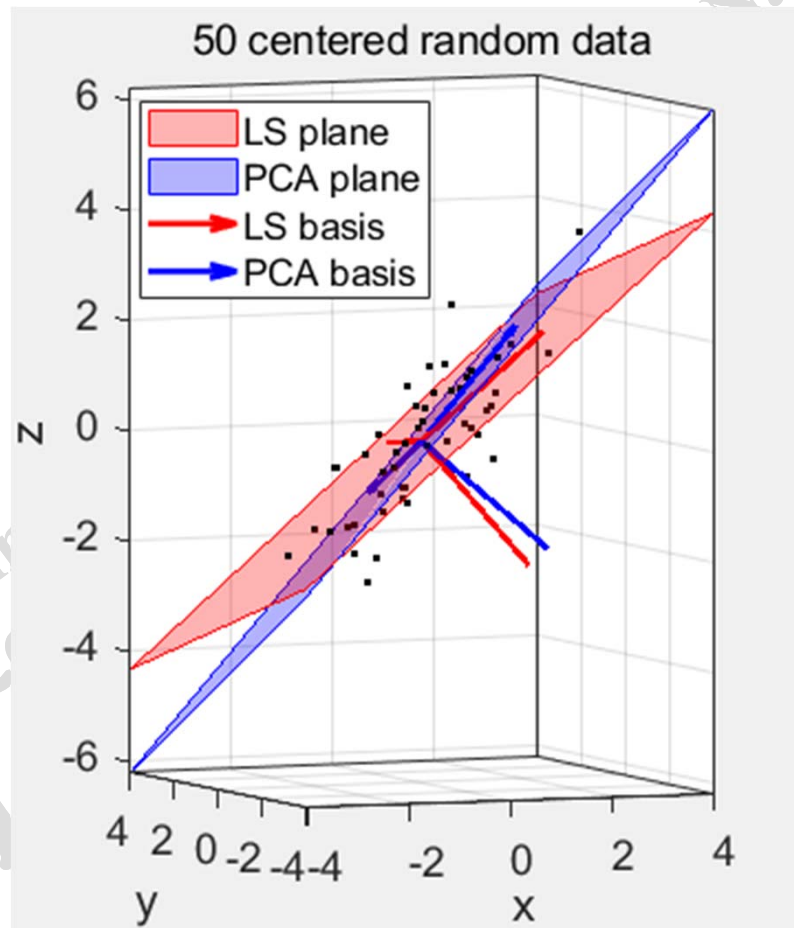


Perché le rette **Least Squares** e **PCA** sono diverse?

Quale condizione ottimale soddisfa ciascuna retta rispetto ai campioni? Come verificarlo?

Analogamente:

Piano Least Squares VS piano PCA



Perché I piani **Least Squares** e **PCA** sono diversi?

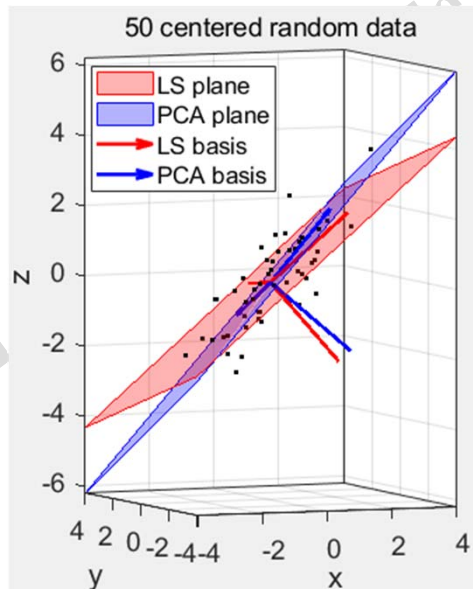
Quale condizione ottimale soddisfa ciascun piano rispetto ai campioni? Come verificarlo?

Piano Least Squares VS piano PCA

```
rng('default'); N=50; P=mvnrnd([0 0 0],[1 .2 .7; .2 1 0; .7 0 1],N); % N 3D points
B0=mean(P); Xc=P-repmat(B0,size(P,1),1); % centered data
[base, comp, lambda] = pca(P);
plot3(P(:,1),P(:,2),P(:,3),'k. '), axis equal; hold on
% Piano PCA: piano passante per B0 e generato da base(:,1:2)
% i coefficienti del piano sono dati da base(:,3)
AX=axis; Px=[AX(1:2);AX(1:2)]; Py=[AX(3:4);AX(3:4)]';
Pz=B0(3)-(base(1,3)*(Px-B0(1))+base(2,3)*(Py-B0(2)))/base(3,3); h=surf(Px,Py,Pz); set(h, ...
quiver3(B0(1)*ones(1,3),B0(2)*ones(1,3),B0(3)*ones(1,3),base(1,:),base(2,:),base(3,:),0)
```

o equivalentemente

```
% Piano PCA: piano passante per B0 e generato da base(:,1:2)
syms a b real; plane=bas(:,1:2)*[a;b];
hPCA=ezsurf(B0(1)+plane(1),B0(2)+plane(2),B0(3)+plane(3),[-3 3]);
set(hPCA,'EdgeColor','none','FaceColor','b','FaceAlpha',0.5)
```



Esercizio

Oltre al piano PCA (le prime due direzioni principali), tracciare il (piano LS di z risp. A x,y) per lo stesso campione random.

Quale condizione ottimale soddisfa ciascun piano rispetto ai campioni? Come verificarlo?